

*In una molecola  $EX_n$ , contenente legami singoli E–X ogni coppia elettronica del guscio di valenza di E, sia di legame  $\sigma$  che solitaria, è stereochimicamente attiva*

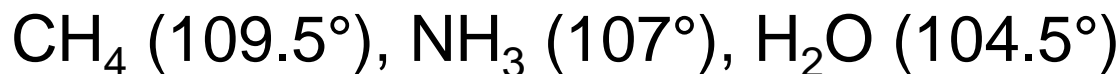
*Le coppie elettroniche del guscio di valenza intorno all'atomo centrale si dispongono in modo da stare il più lontano possibile le une dalle altre*

**Table 2.6** The basic arrangement of regions of electron density according to the VSEPR model

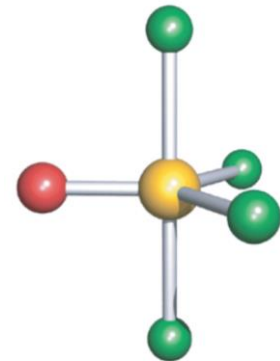
Number of electron regions	Arrangement
2	Linear
3	Trigonal planar
4	Tetrahedral
5	Trigonal bipyramidal
6	Octahedral

# Repulsione fra le coppie

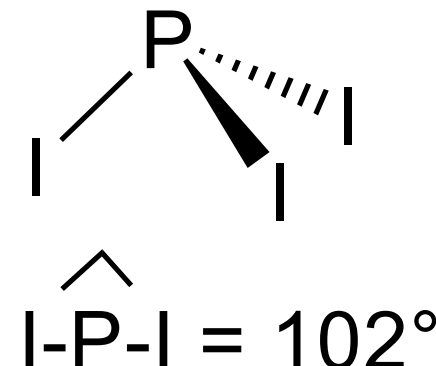
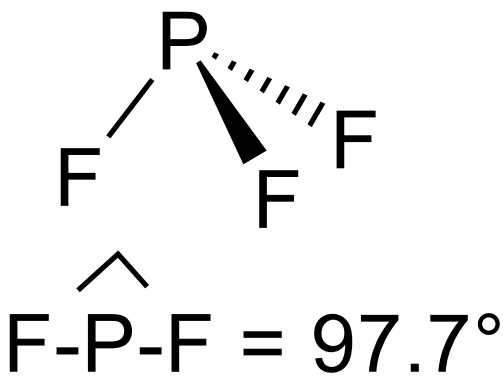
coppia solitaria – coppia solitaria > coppia solitaria – coppia di legame > coppia di legame – coppia di legame



legame triplo – legame singolo > legame doppio – legame singolo > legame singolo – legame singolo



coppie di legame verso atomi (o gruppi) elettronegativi  $\text{OSF}_4$   
occupano meno spazio di quelle verso atomi più elettropositivi

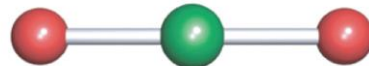


**numero sterico** = numero di coppie di legame e di non legame intorno all'atomo centrale. Se non ci sono legami E–H:

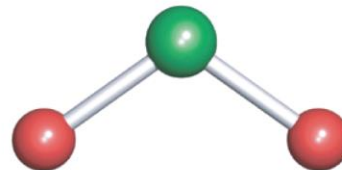
$$n.s. = \underbrace{\text{elettroni di valenza } (\pm \text{ carica})/8}_{\text{Legami}} + \underbrace{\text{resto}/2}_{\text{Coppie solitarie}}$$

*Il numero sterico determina la **geometria delle coppie**, che non necessariamente coincide con la **geometria molecolare***

**2-Coordinate**

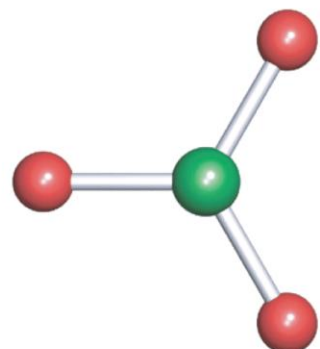


Linear

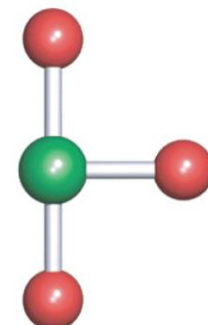


Bent

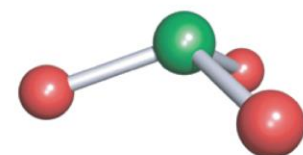
**3-Coordinate**



Trigonal planar



T-shaped

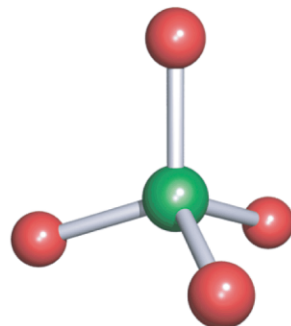


Trigonal pyramidal



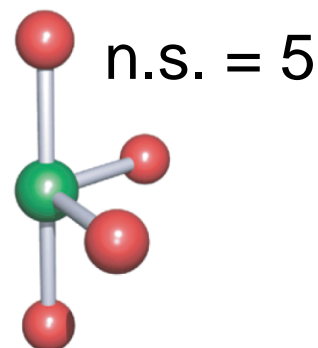
n.s. = 5

**4-Coordinate**

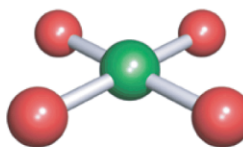


Tetrahedral

$\text{SF}_4$

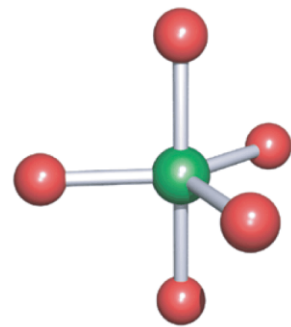


Disphenoidal

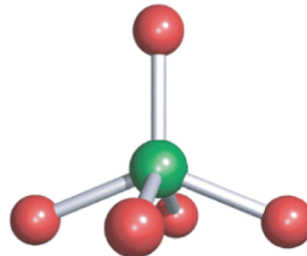


Square planar

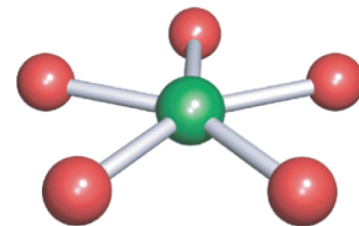
**5-Coordinate**



Trigonal bipyramidal



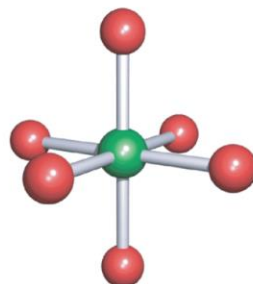
Square-based pyramidal



Pentagonal planar

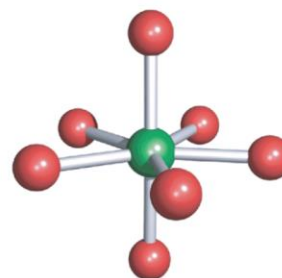
$\text{TeF}_5^-$   
n.s. = 6

**6-Coordinate**



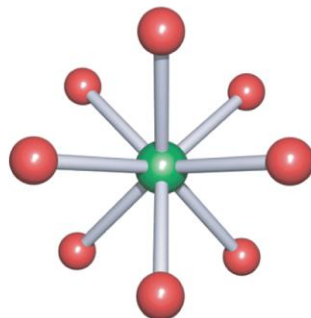
Octahedral

**7-Coordinate**



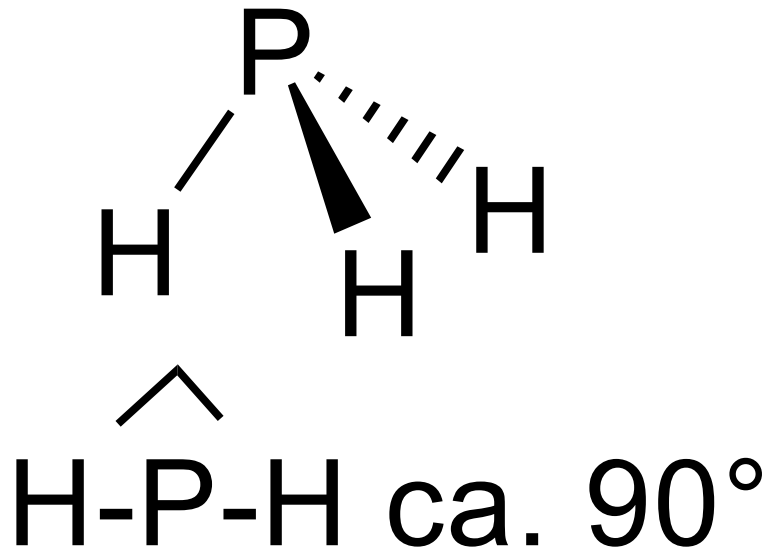
Pentagonal bipyramidal

**8-Coordinate**

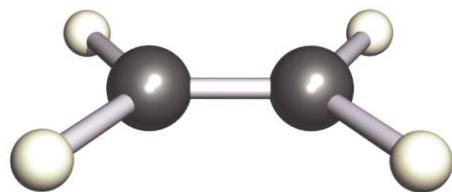
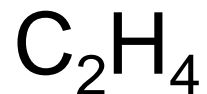


Square antiprismatic

# Coppie solitarie stereoicamente inattive

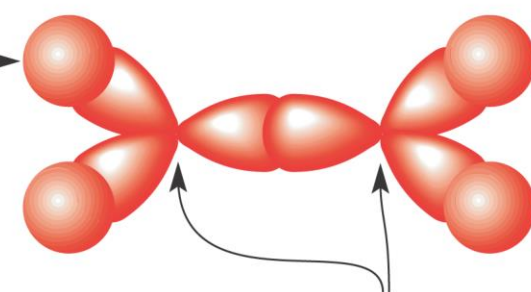


# Molecole poliatomiche secondo la teoria VB



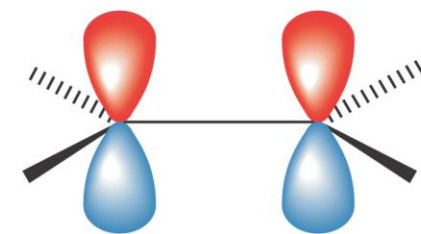
(a)

H 1s atomic orbital



$sp^2$  hybridized C atoms

(b)



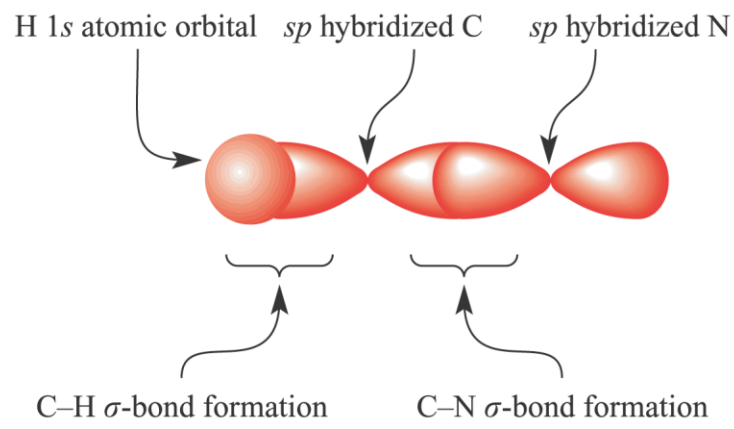
(c)

$$598 \text{ kJ mol}^{-1} \text{ vs } 2 \times 346 \text{ kJ mol}^{-1}$$

$\sigma + \pi$

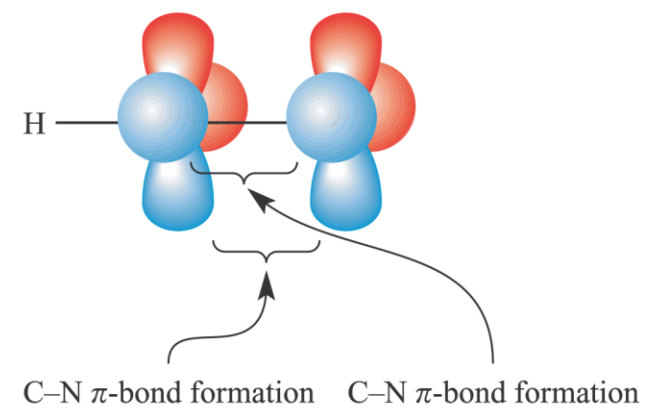
$2\sigma$

# HCN

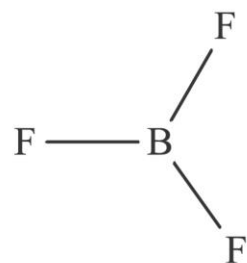


(a)

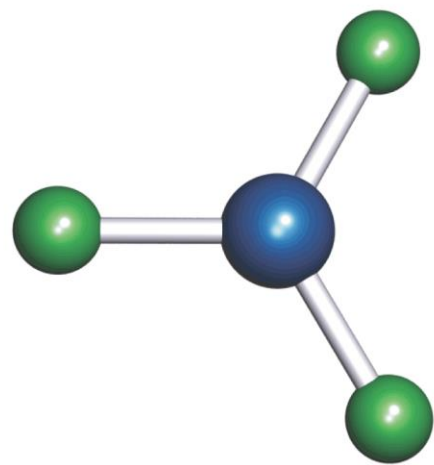
(b)



(c)



(a)

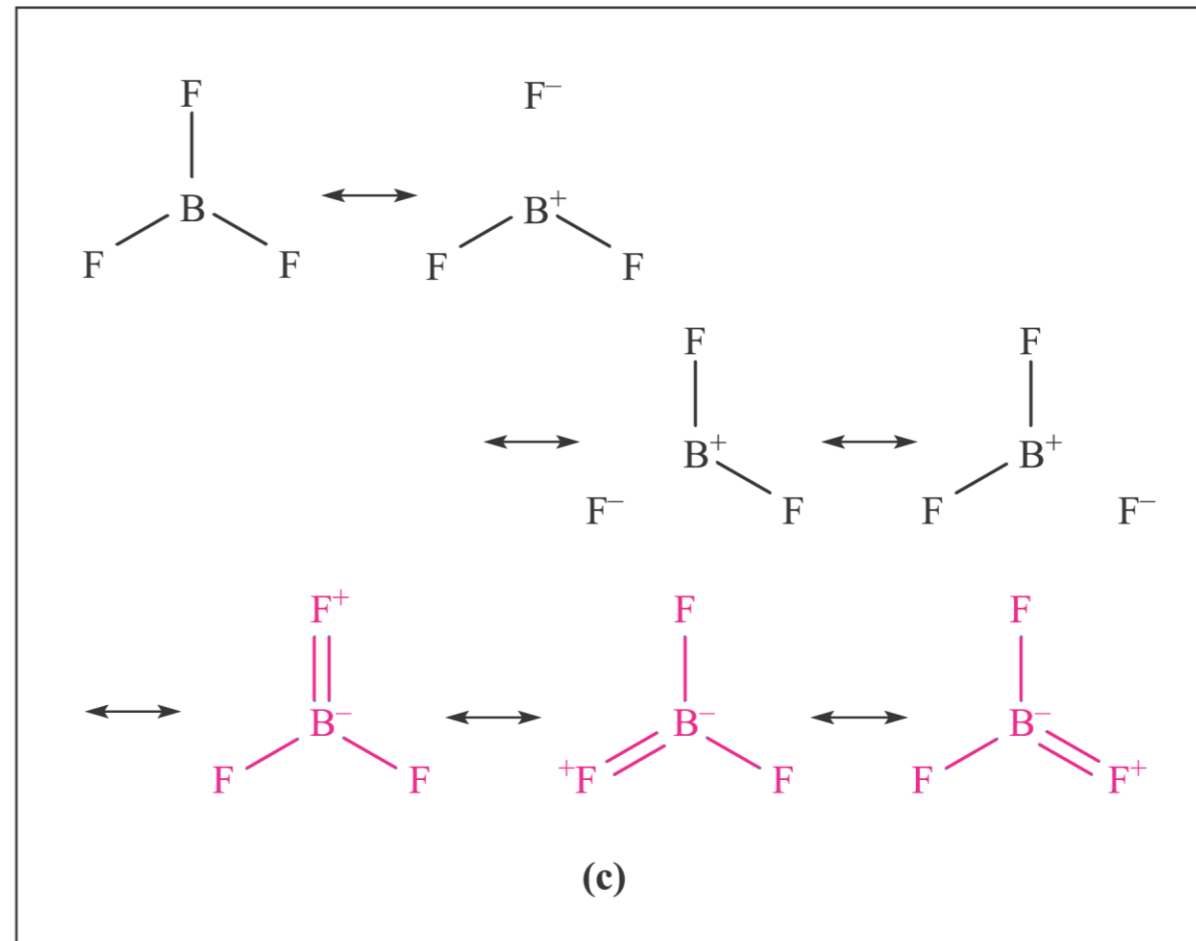


Fully occupied  $2p$  atomic orbital on F

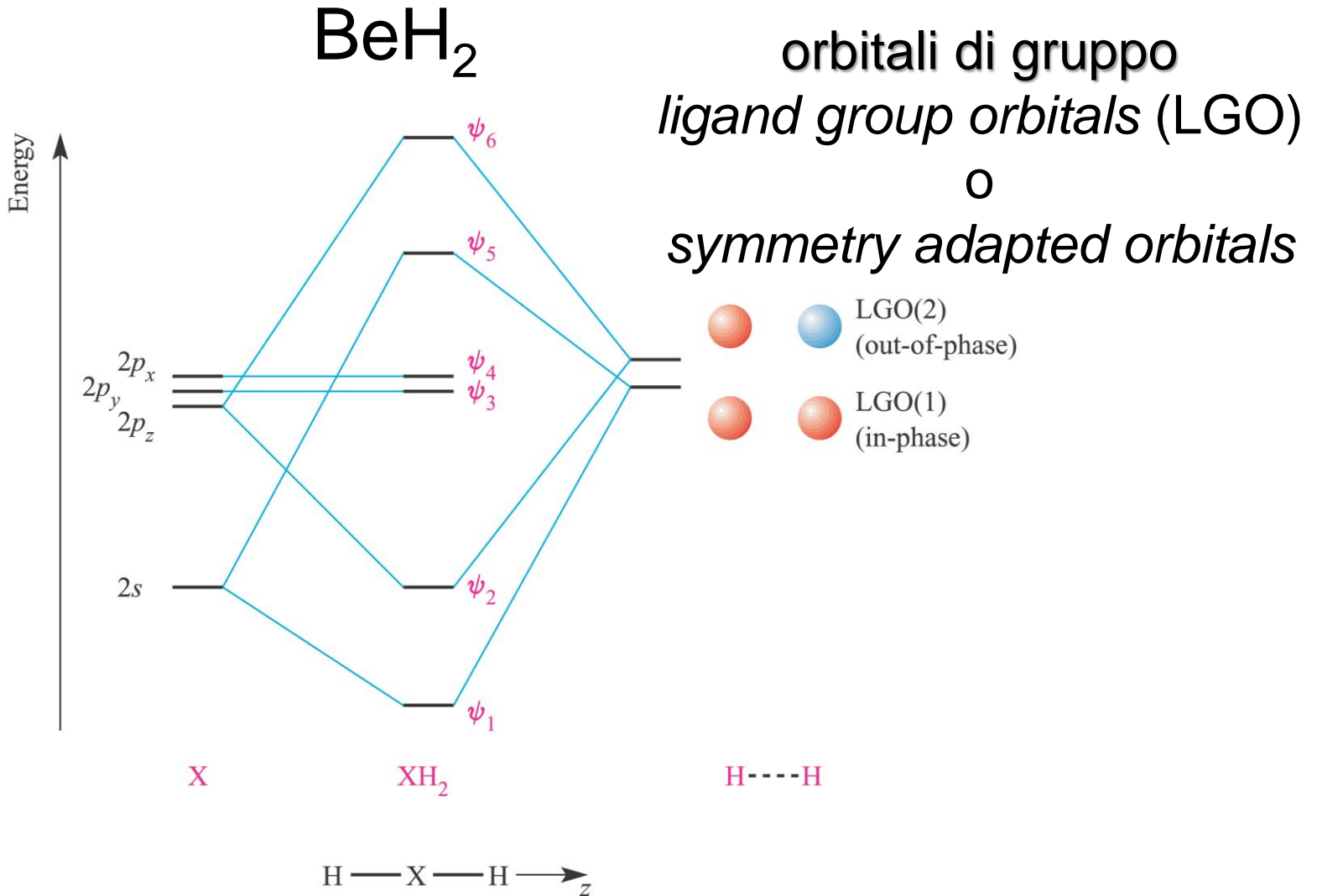
Empty  $2p$  atomic orbital on B

(b)

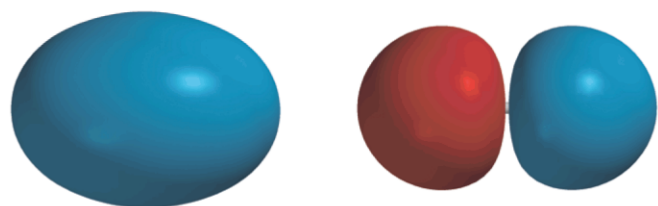
# $\text{BF}_3$



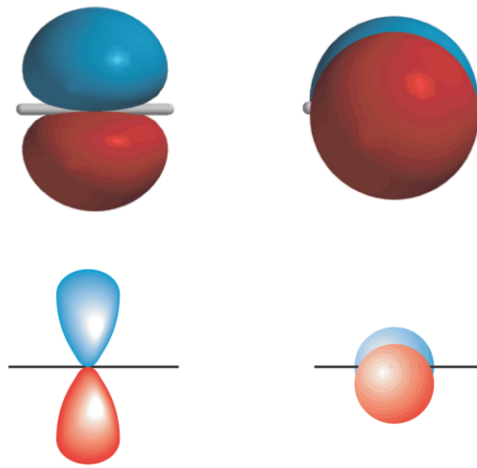
# Molecole poliatomiche secondo la teoria MO



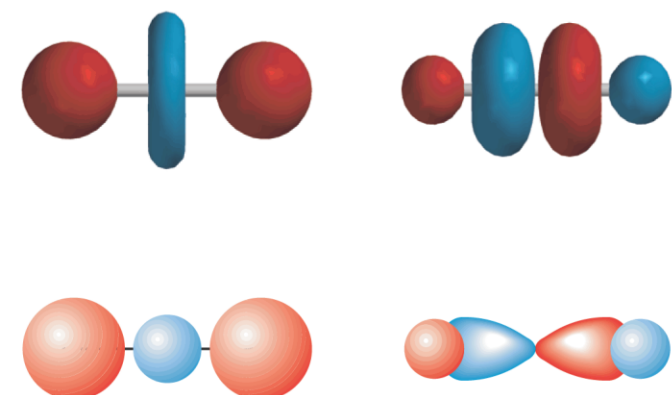
# Molecole poliatomiche secondo la teoria MO



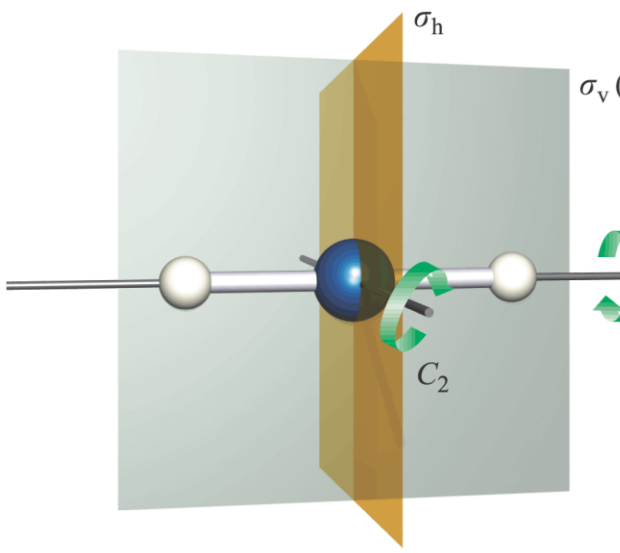
$\psi_1$   
X—H bonding character



Centred on atom X

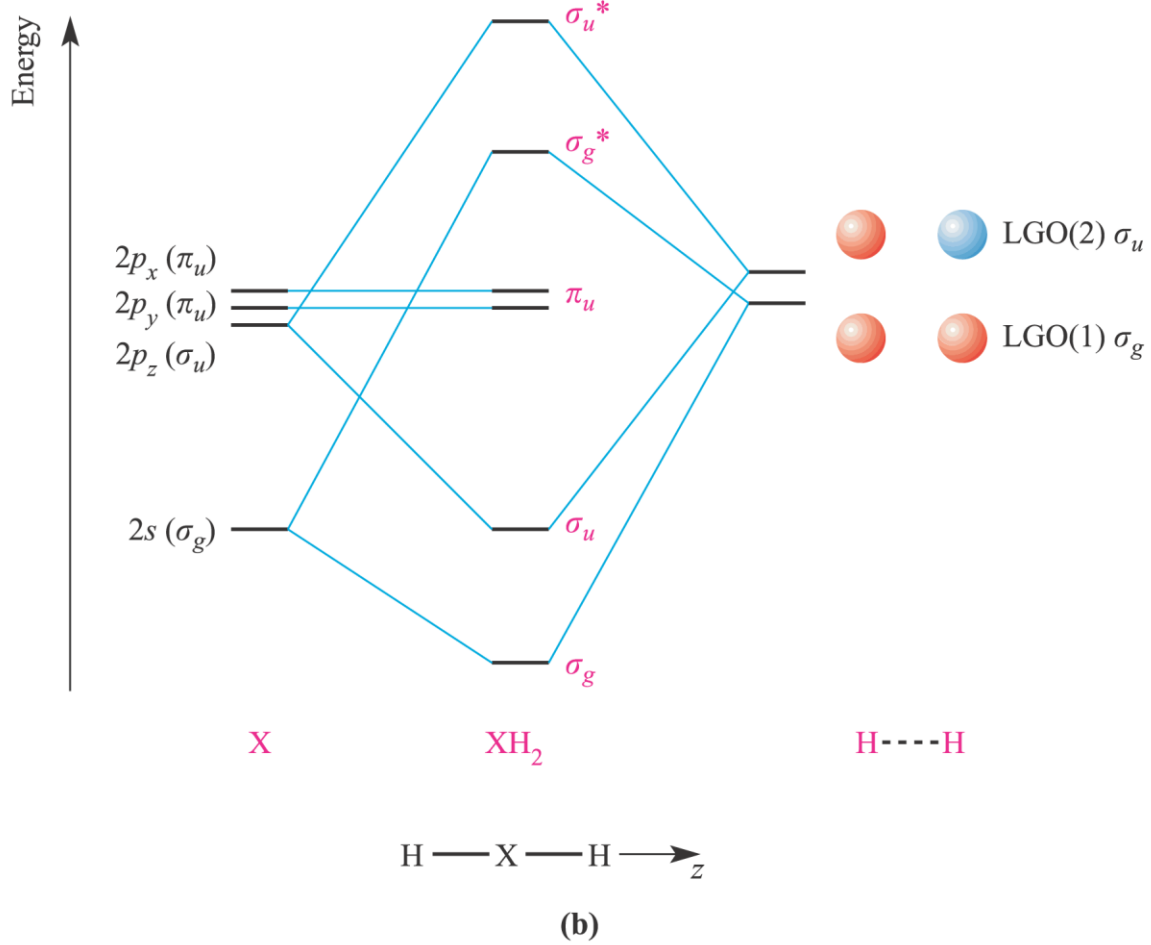


$\psi_5$   
X—H antibonding character

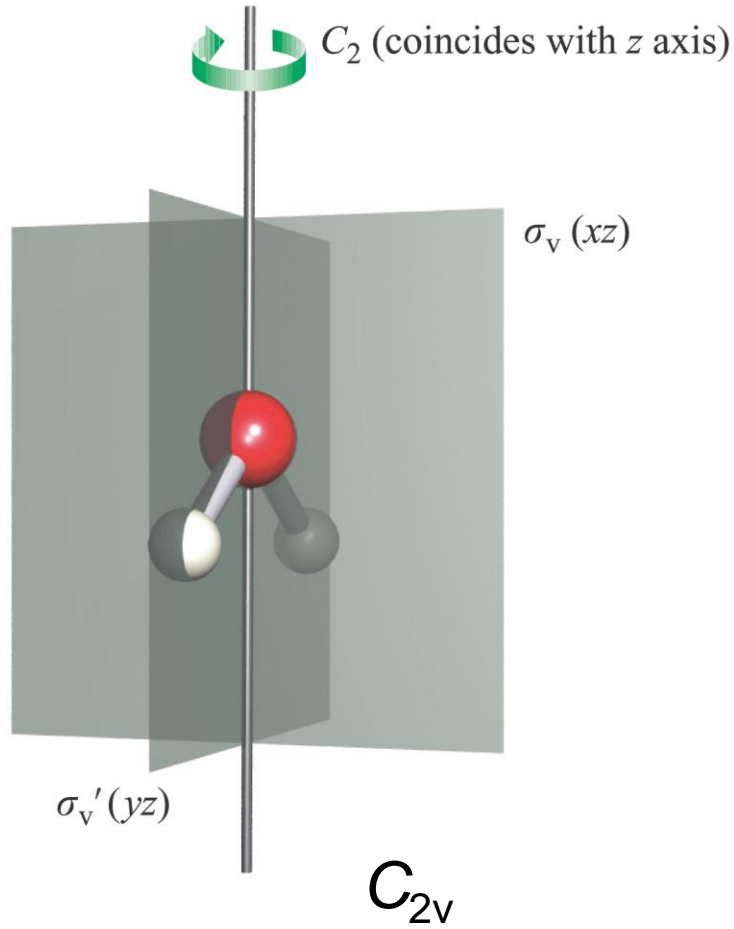


$D_{\infty h}$

(a)



(b)

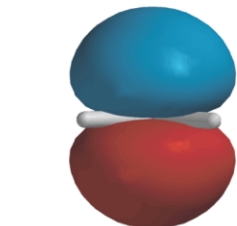
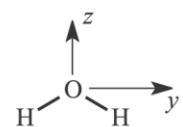
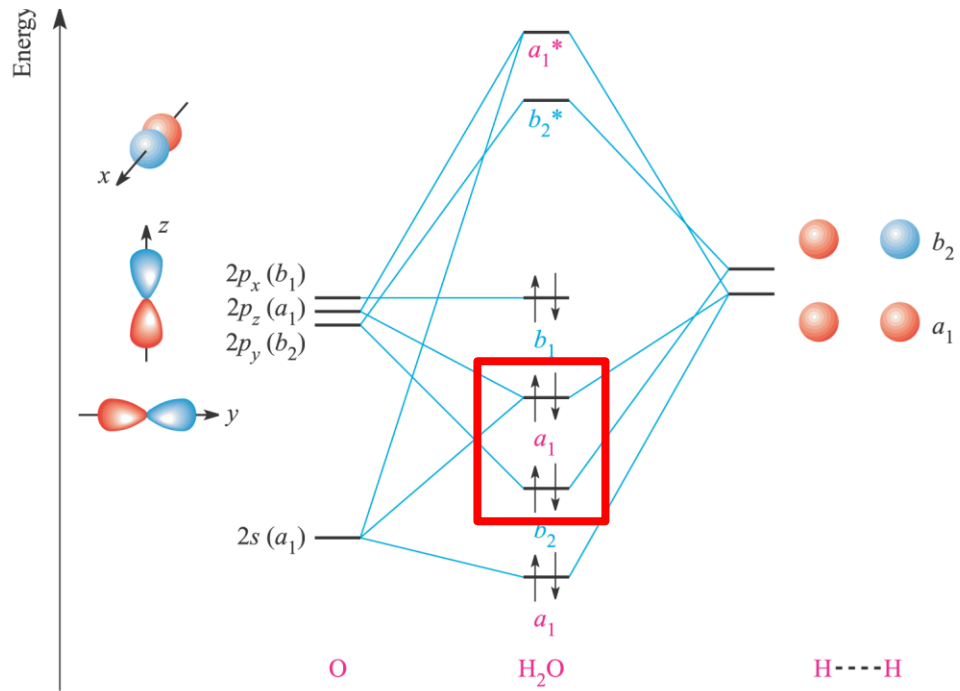


$C_{2v}$	$E$	$C_2$	$\sigma_v(xz)$	$\sigma_v'(yz)$		
$A_1$	1	1	1	1	$z$	$x^2, y^2, z^2$
$A_2$	1	1	-1	-1	$R_z$	$xy$
$B_1$	1	-1	1	-1	$x, R_y$	$xz$
$B_2$	1	-1	-1	1	$y, R_x$	$yz$

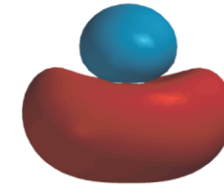
2H

$$\boxed{2 \quad 0 \quad 0 \quad 2}$$

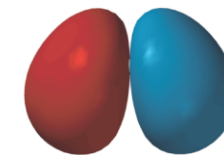
$$\boxed{A_1 + B_2}$$



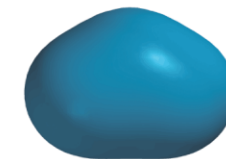
Representation of the  $b_1$  MO



Representation of the higher energy  $a_1$  MO



Representation of the  $b_2$  MO

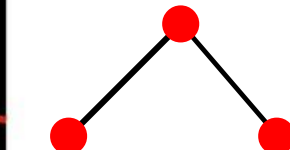
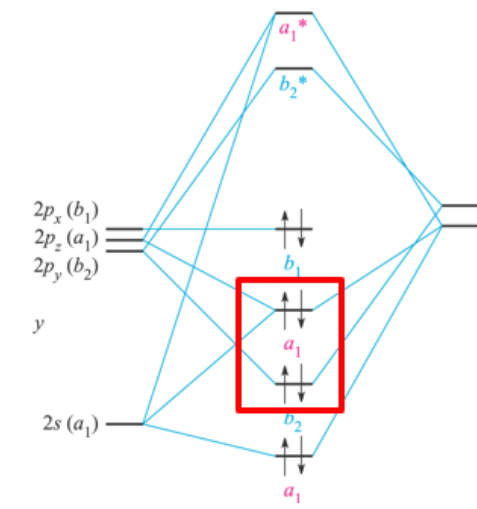
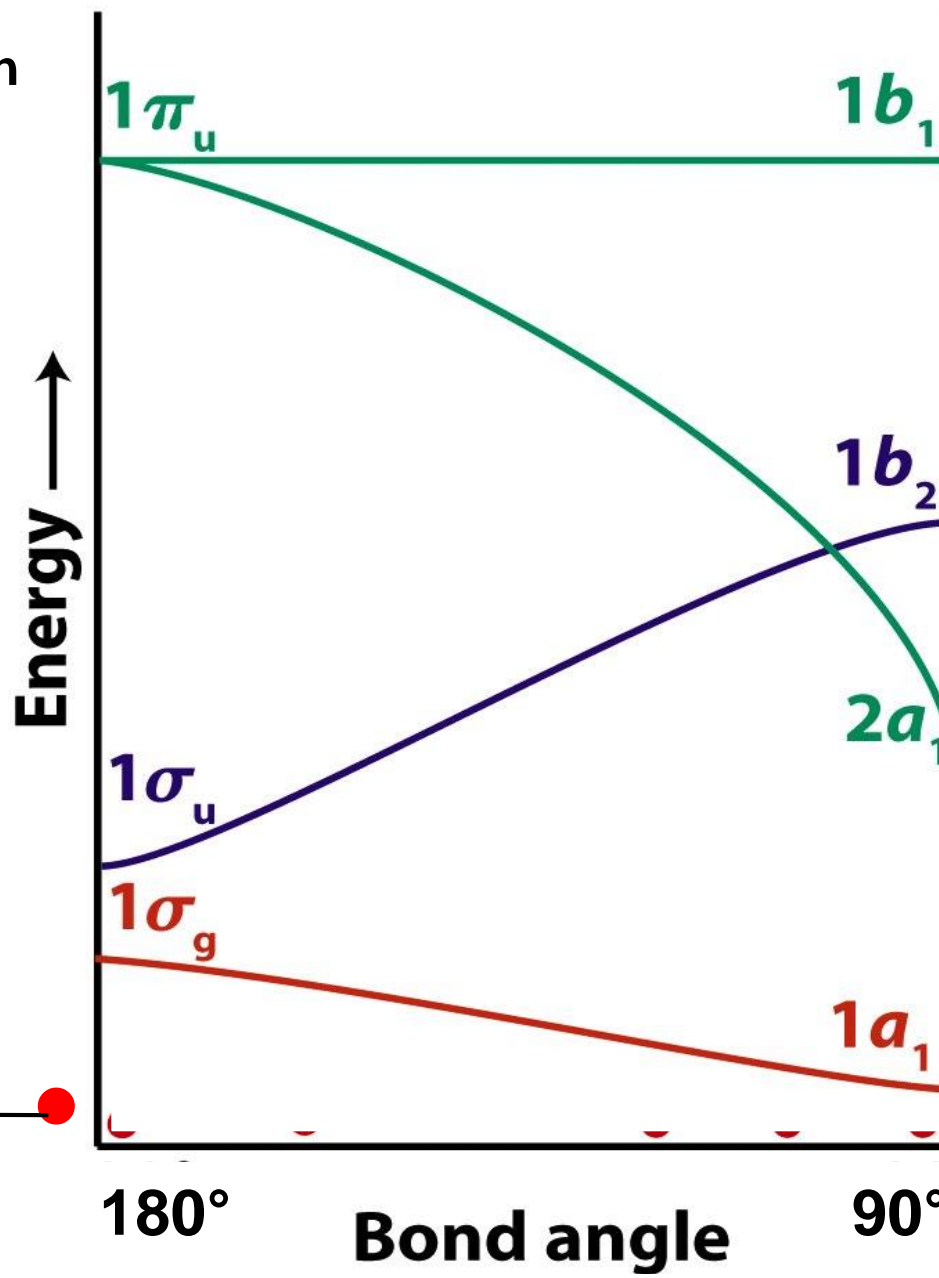
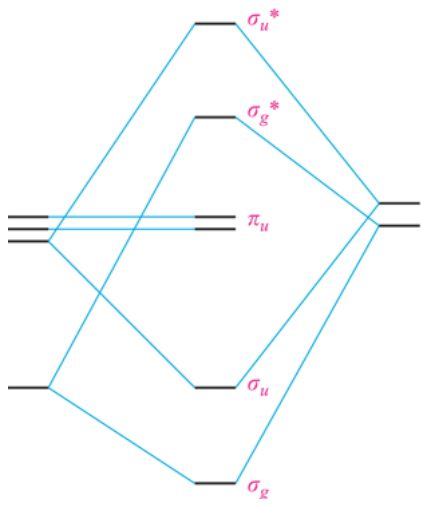


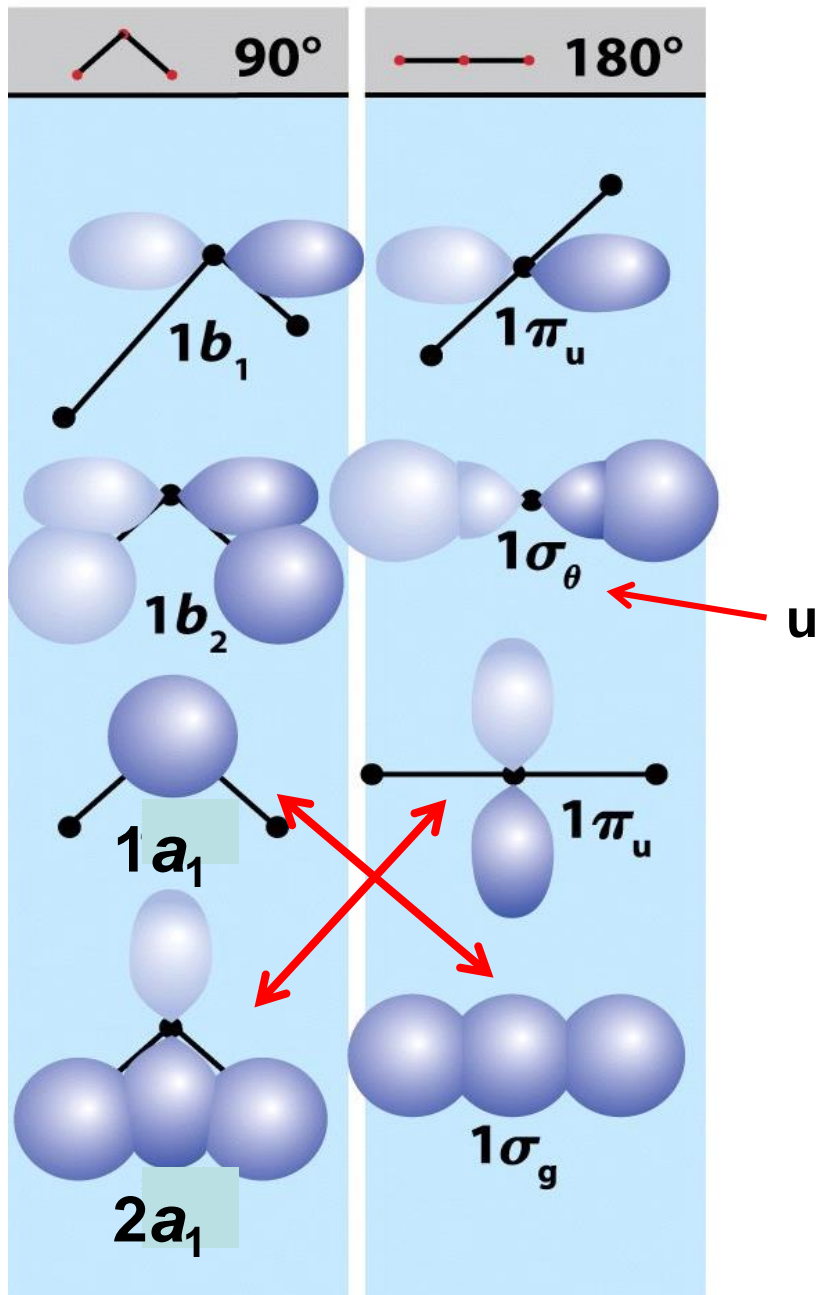
Representation of the lower energy  $a_1$  MO

n.l.

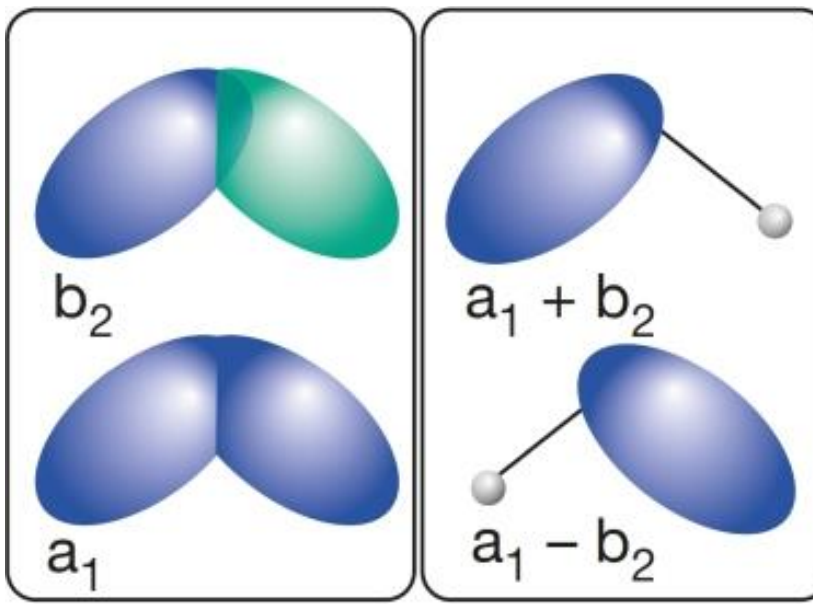
n.l.

## Diagramma di Walsh



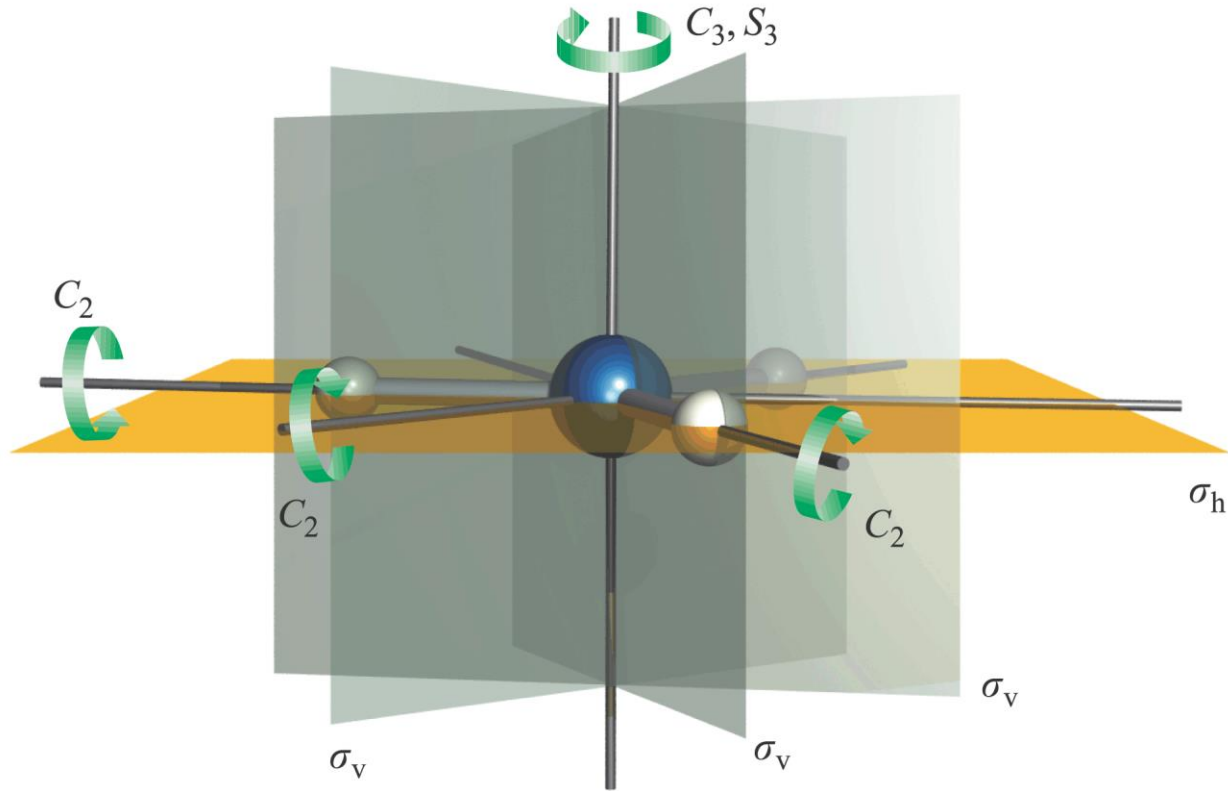


# Combinazioni lineari di orbitali molecolari



Localizzate	Delocalizzate
Forza dei legami	Spettri elettronici
Costanti di forza	Fotoionizzazione
Lunghezze di legame	Affinità elettronica
Acidità di Brønsted*	Magnetismo
Descrizione VSEPR	Potenziali standard†

# $\text{BH}_3$ , gruppo puntuale $D_{3h}$

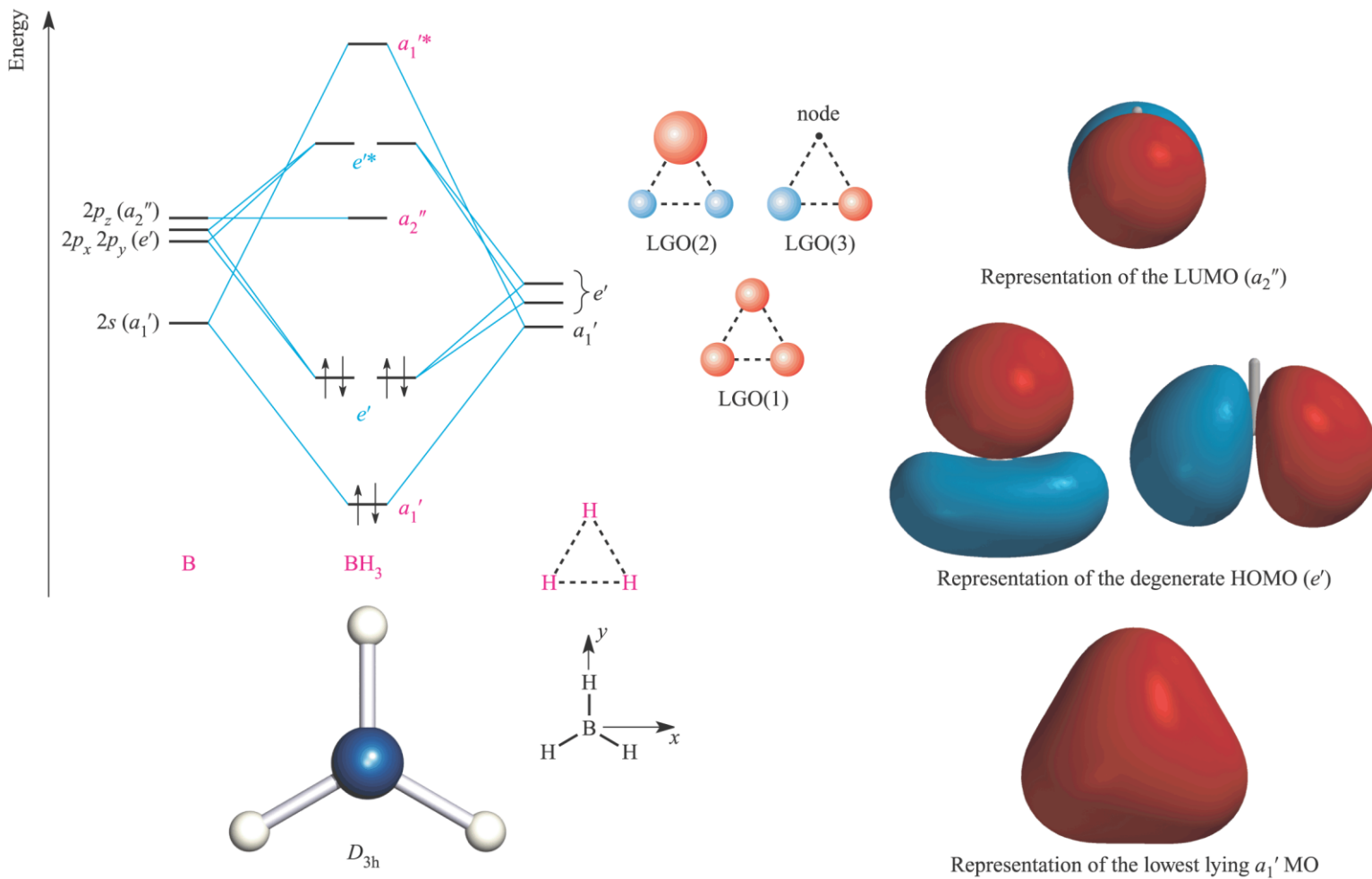


$D_{3h}$	$E$	$2C_3$	$3C_2$	$\sigma_h$	$2S_3$	$3\sigma_v$		
$A_1'$	1	1	1	1	1	1		$x^2 + y^2, z^2$
$A_2'$	1	1	-1	1	1	-1	$R_z$	
$E'$	2	-1	0	2	-1	0	$(x, y)$	$(x^2 - y^2, xy)$
$A_1''$	1	1	1	-1	-1	-1		
$A_2''$	1	1	-1	-1	-1	1	$z$	
$E''$	2	-1	0	-2	1	0	$(R_x, R_y)$	$(xz, yz)$

3H

$$\boxed{3 \quad 0 \quad 1 \quad 3 \quad 0 \quad 1}$$

$$\boxed{A_1' + E'}$$

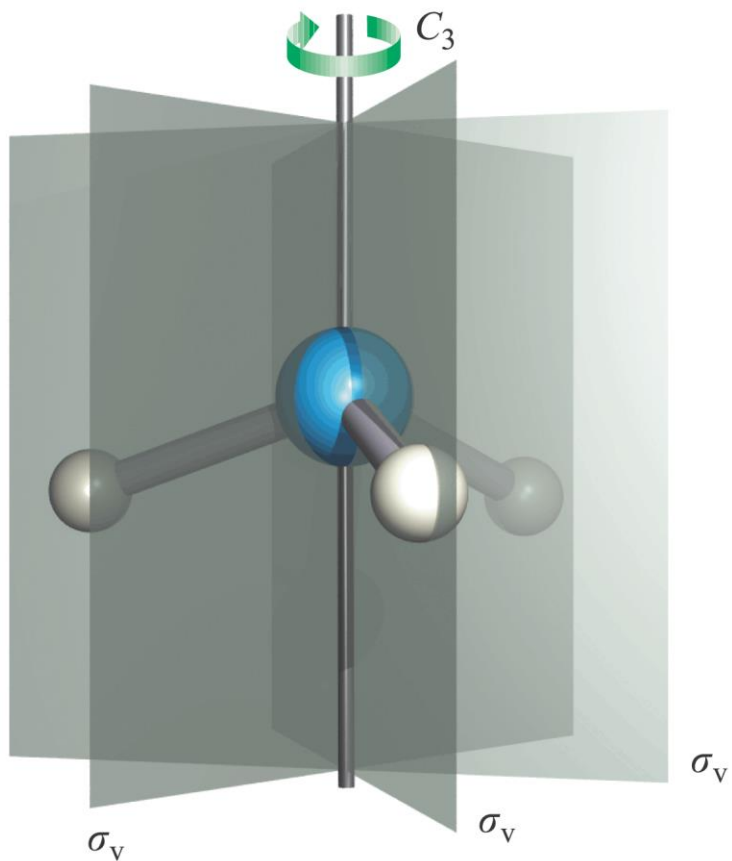


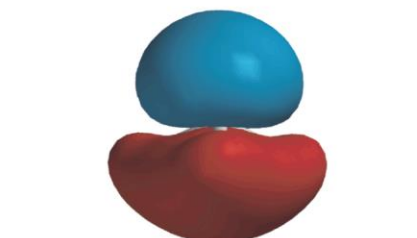
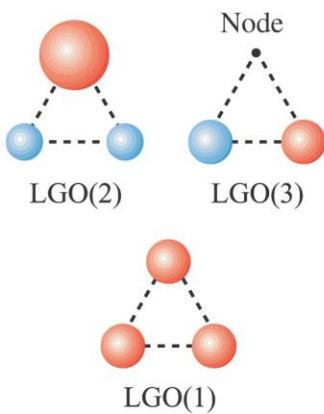
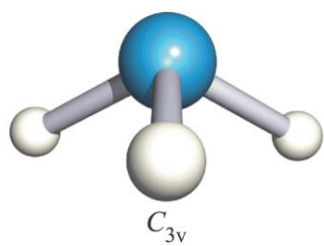
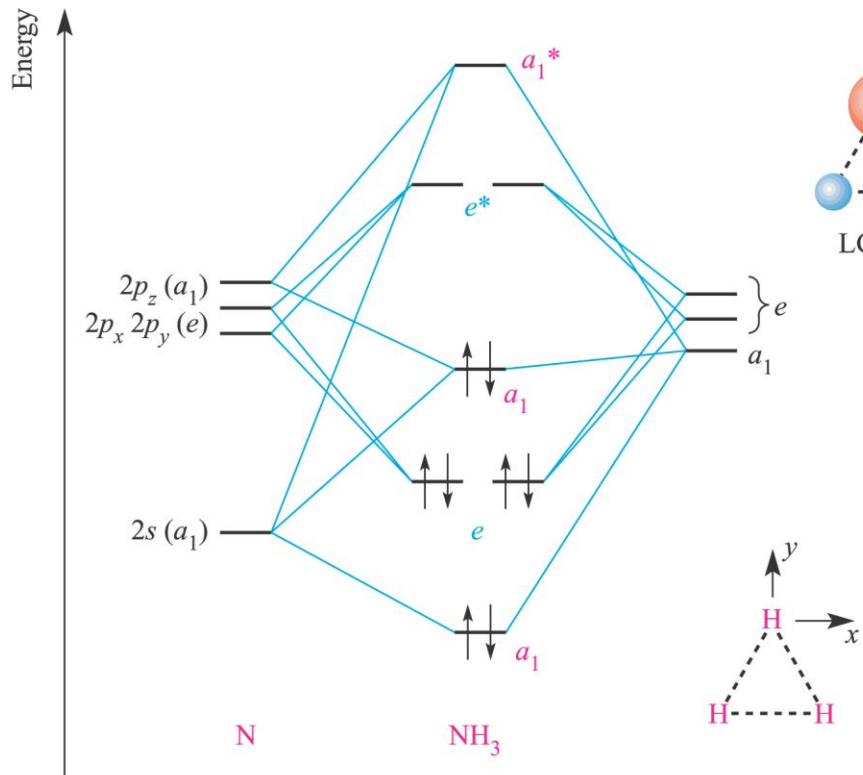
$$\Psi(a_1') = \frac{1}{\sqrt{3}} \times (\Psi_1 + \Psi_2 + \Psi_3) \quad (\text{LGO1})$$

$$\Psi(e')_1 = \frac{1}{\sqrt{6}} \times (2\Psi_1 - \Psi_2 - \Psi_3) \quad (\text{LGO2})$$

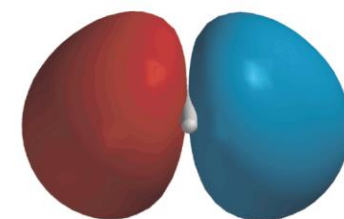
$$\Psi(e')_2 = \frac{1}{\sqrt{2}} \times (\Psi_2 - \Psi_3) \quad (\text{LGO3})$$

# $\text{NH}_3$ , gruppo puntuale $C_{3v}$

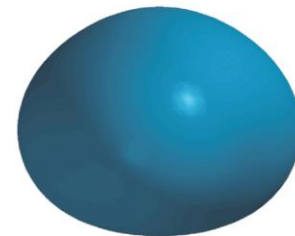




Representation of the HOMO ( $a_1$ )

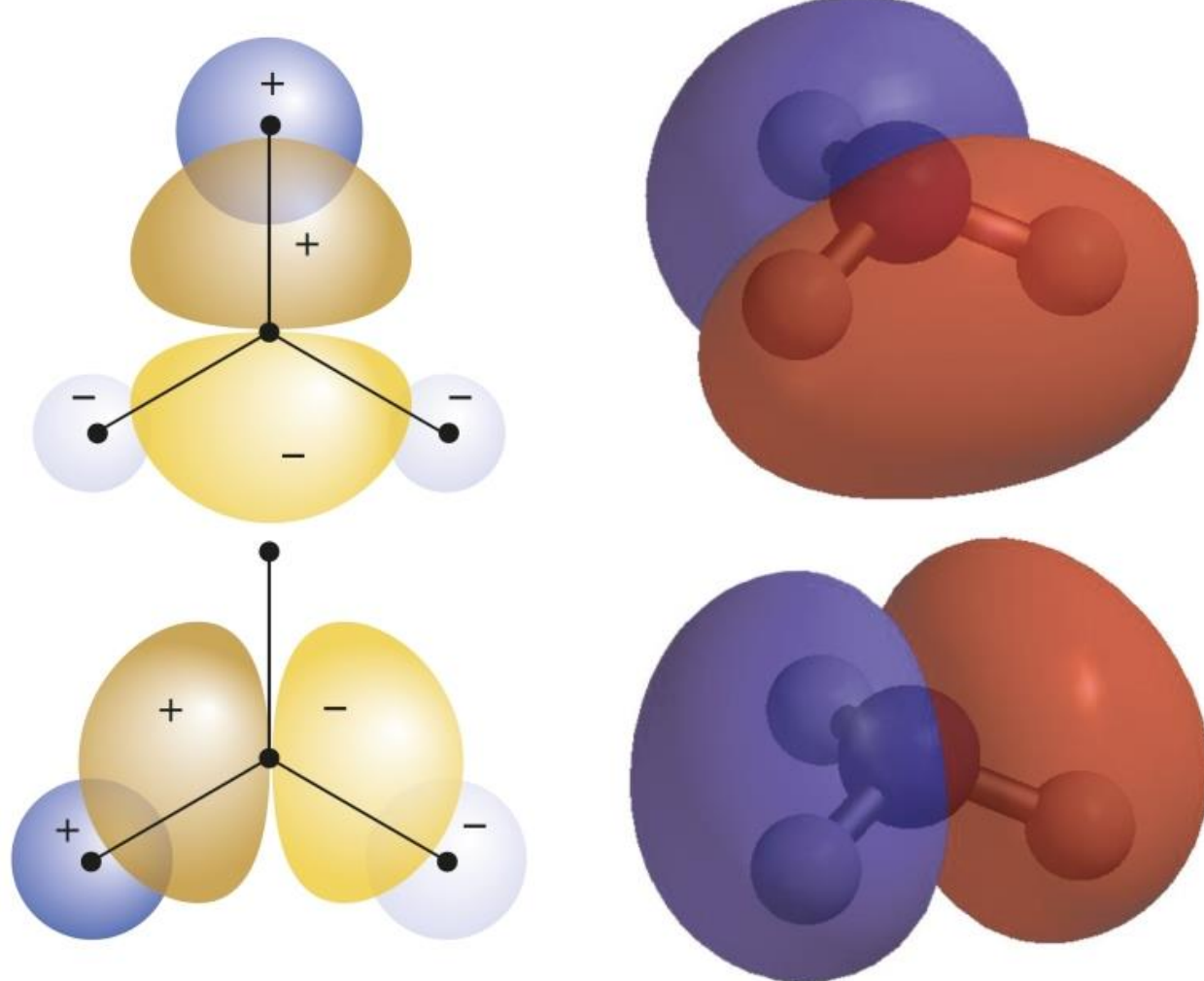


Representation of one of the  $e$  MOs

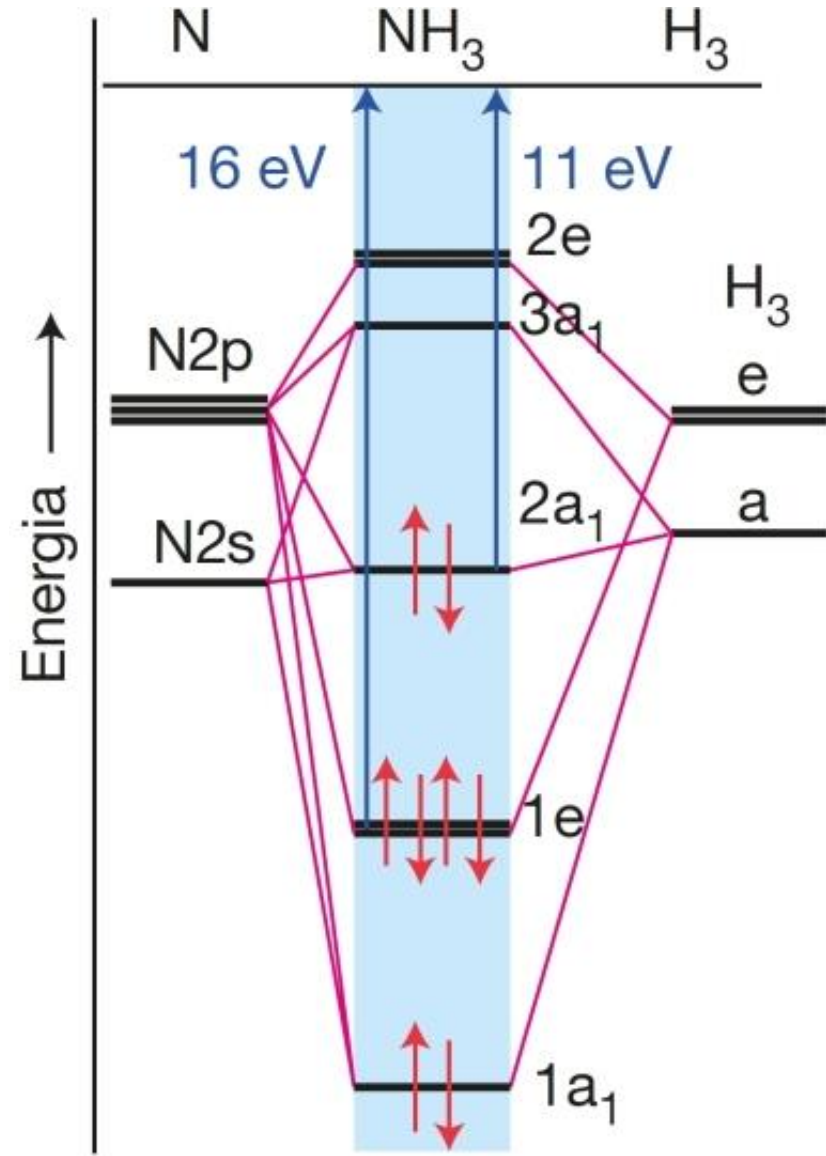
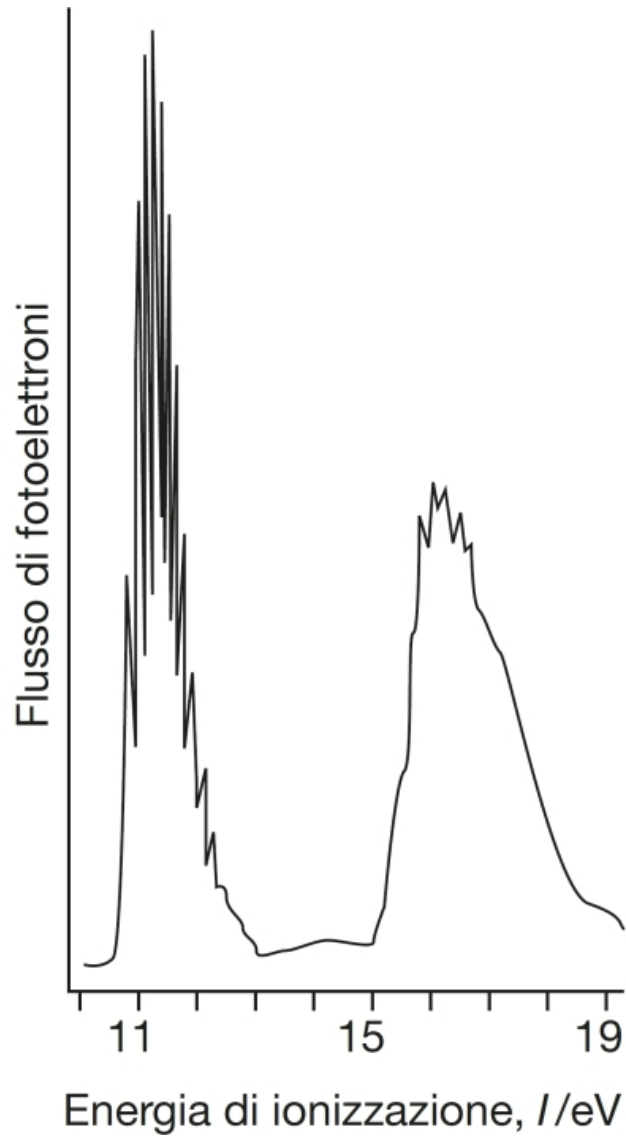


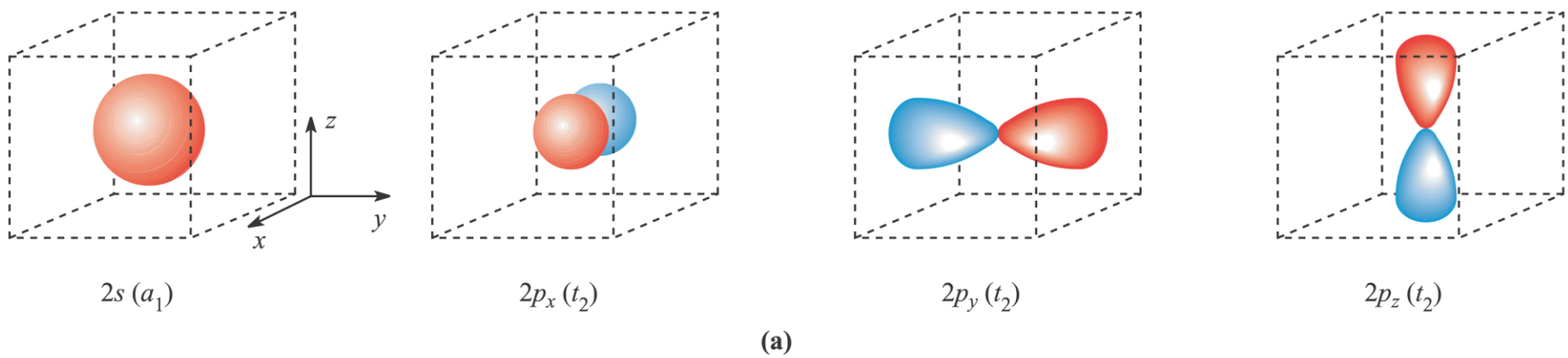
Representation of the lowest lying  $a_1$  MO

# Formazione degli orbitali molecolari leganti e

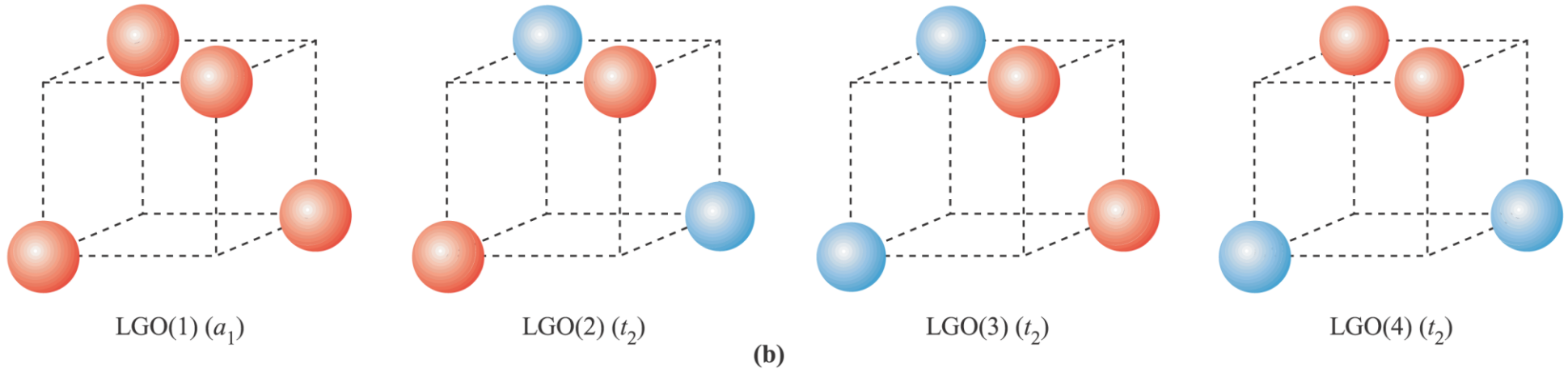


# Spettro di fotoelettroni di $\text{NH}_3$

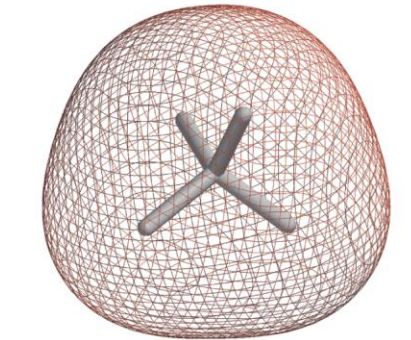
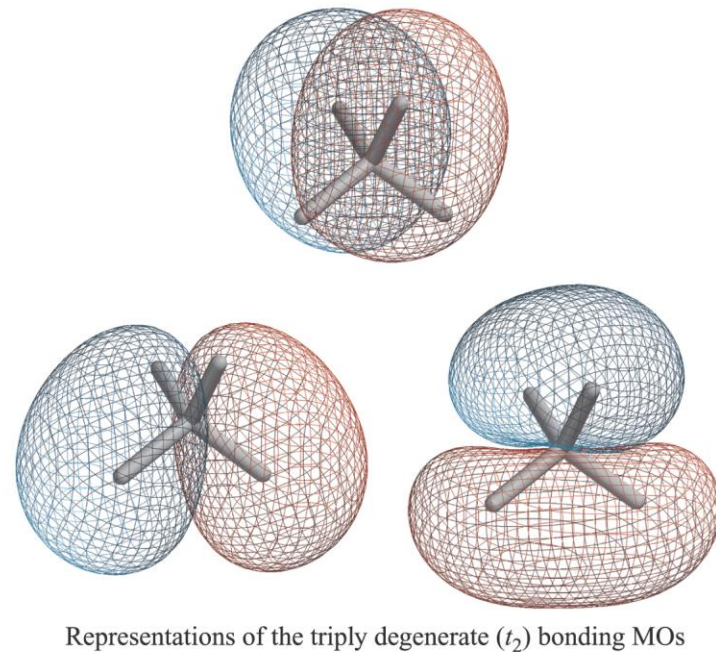
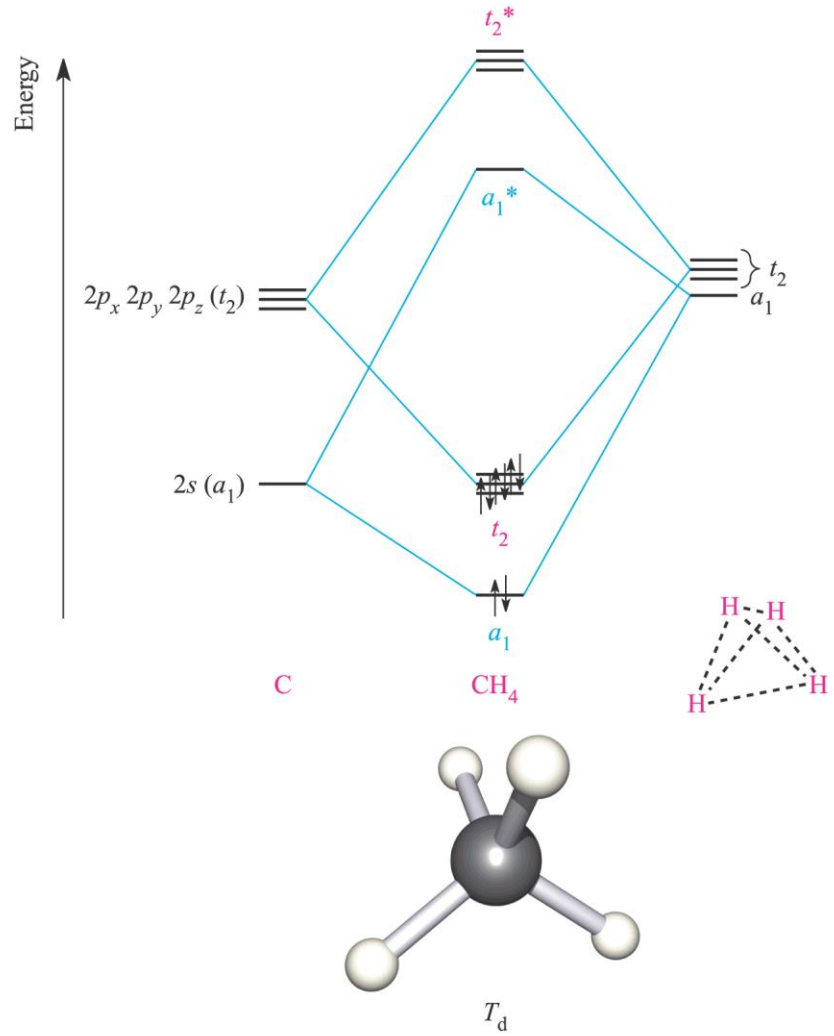




(a)



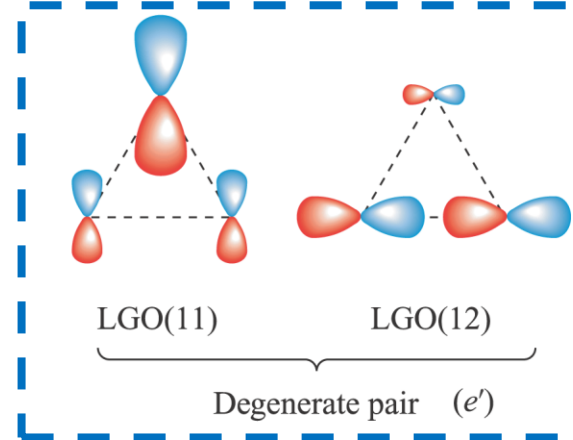
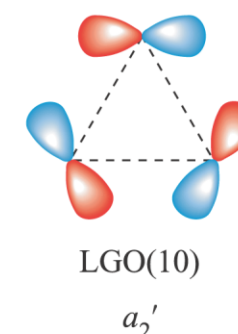
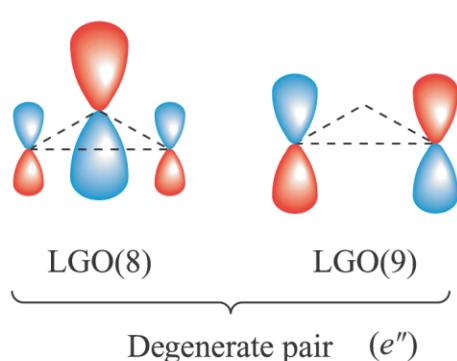
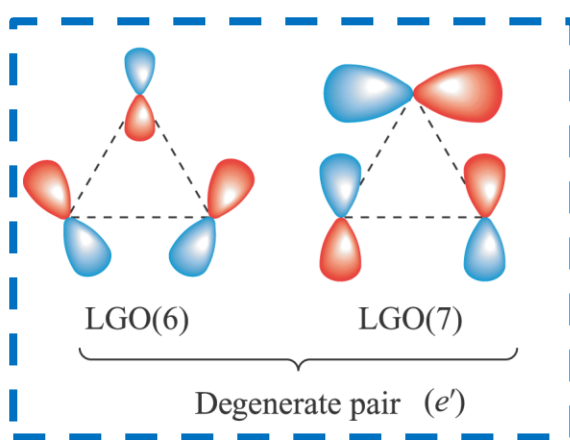
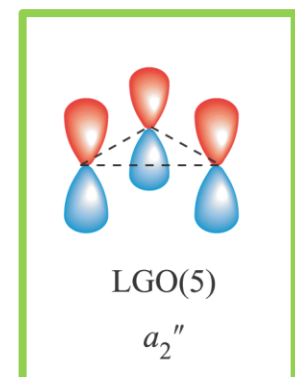
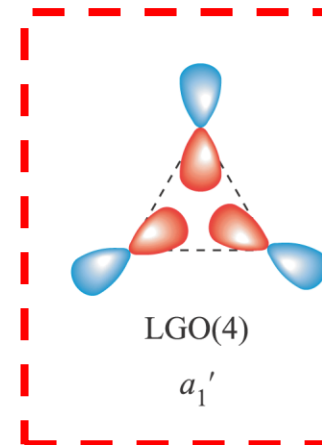
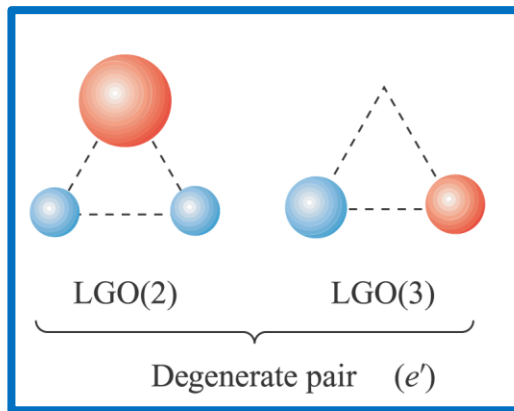
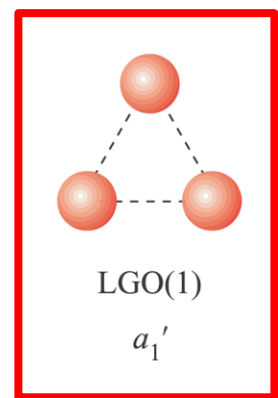
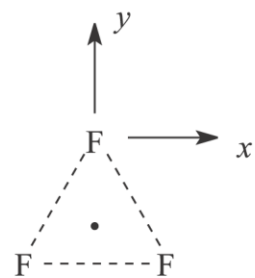
(b)



# **BF**<sub>3</sub>

$D_{3h}$	$E$	$2C_3$	$3C_2$	$\sigma_h$	$2S_3$	$3\sigma_v$		
$A_1'$	1	1	1	1	1	1		$x^2 + y^2, z^2$
$A_2'$	1	1	-1	1	1	-1	$R_z$	
$E'$	2	-1	0	2	-1	0	$(x, y)$	$(x^2 - y^2, xy)$
$A_1''$	1	1	1	-1	-1	-1		
$A_2''$	1	1	-1	-1	-1	1	$z$	
$E''$	2	-1	0	-2	1	0	$(R_x, R_y)$	$(xz, yz)$

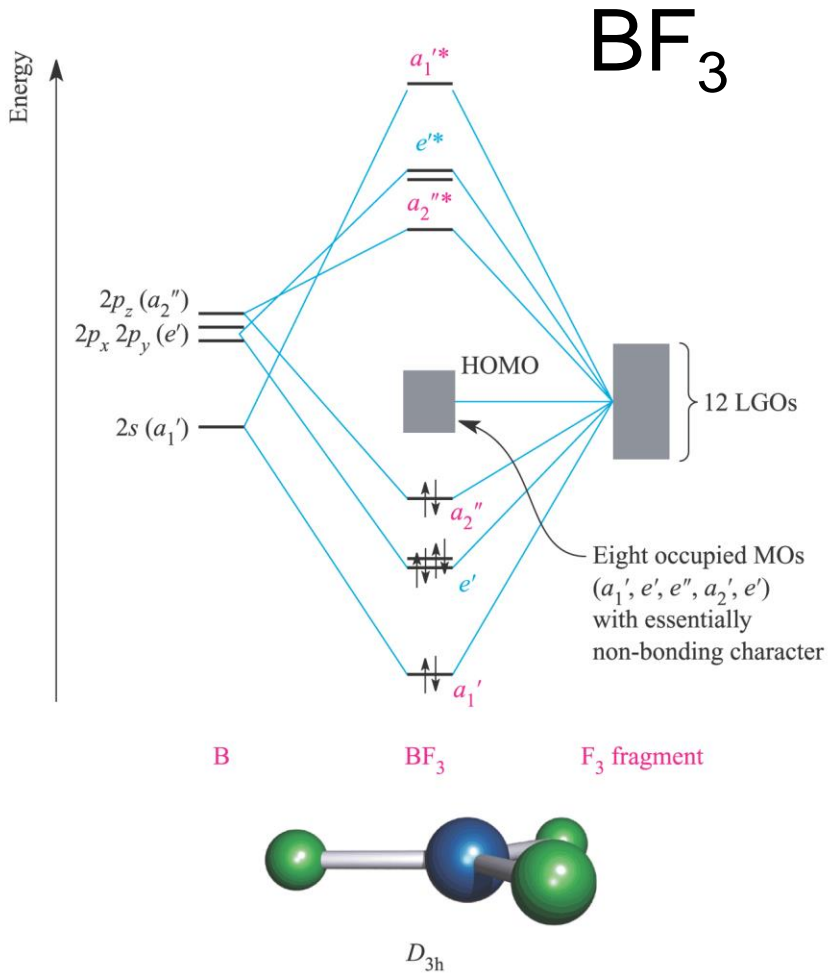
# $\text{BF}_3$



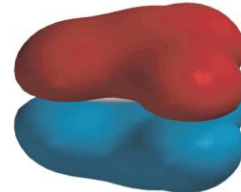
tre  $2p_z$

$E$	$C_3$	$C_2$	$\sigma_h$	$S_3$	$\sigma_v$
3	0	-1	-3	0	1

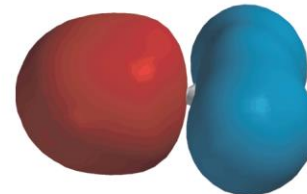
$A_2'' + E'$



$\text{BF}_3$

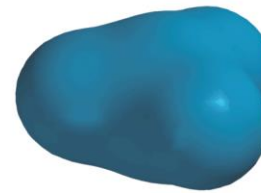


Representation of the  $a_2''$  MO



Representation of one of the  $e'$  MOs

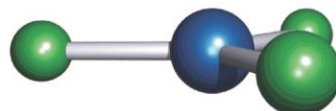
$\pi$



$\sigma$

Representation of the  $a_1'$  MO

$\sigma$



$D_{3h}$

Ordine di legame 4/3

# Molecole ipervalenti: SF<sub>6</sub> (gruppo O<sub>h</sub>)

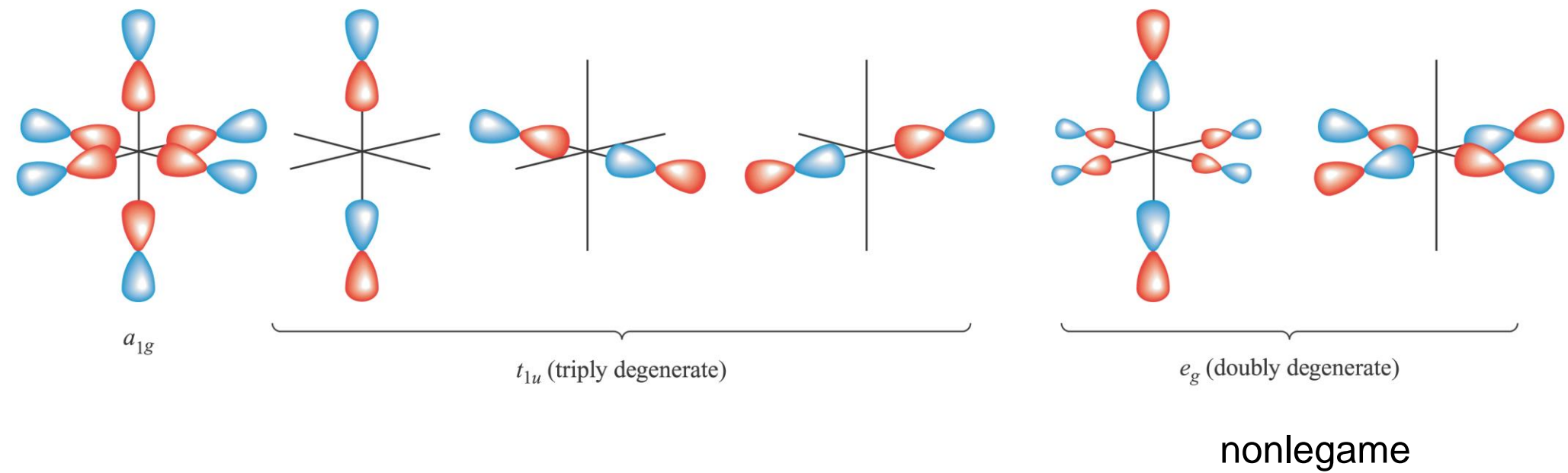
O <sub>h</sub>	E	8C <sub>3</sub>	6C <sub>2</sub>	6C <sub>4</sub>	3C <sub>2</sub> (= C <sub>4</sub> <sup>2</sup> )	i	6S <sub>4</sub>	8S <sub>6</sub>	3σ <sub>h</sub>	6σ <sub>d</sub>
A <sub>1g</sub>	1	1	1	1	1	1	1	1	1	1
A <sub>2g</sub>	1	1	-1	-1	1	1	-1	1	1	-1
E <sub>g</sub>	2	-1	0	0	2	2	0	-1	2	0
T <sub>1g</sub>	3	0	-1	1	-1	3	1	0	-1	-1
T <sub>2g</sub>	3	0	1	-1	-1	3	-1	0	-1	1
A <sub>1u</sub>	1	1	1	1	1	-1	-1	-1	-1	-1
A <sub>2u</sub>	1	1	-1	-1	1	-1	1	-1	-1	1
E <sub>u</sub>	2	-1	0	0	2	-2	0	1	-2	0
T <sub>1u</sub>	3	0	-1	1	-1	-3	-1	0	1	1
T <sub>2u</sub>	3	0	1	-1	-1	-3	1	0	1	-1

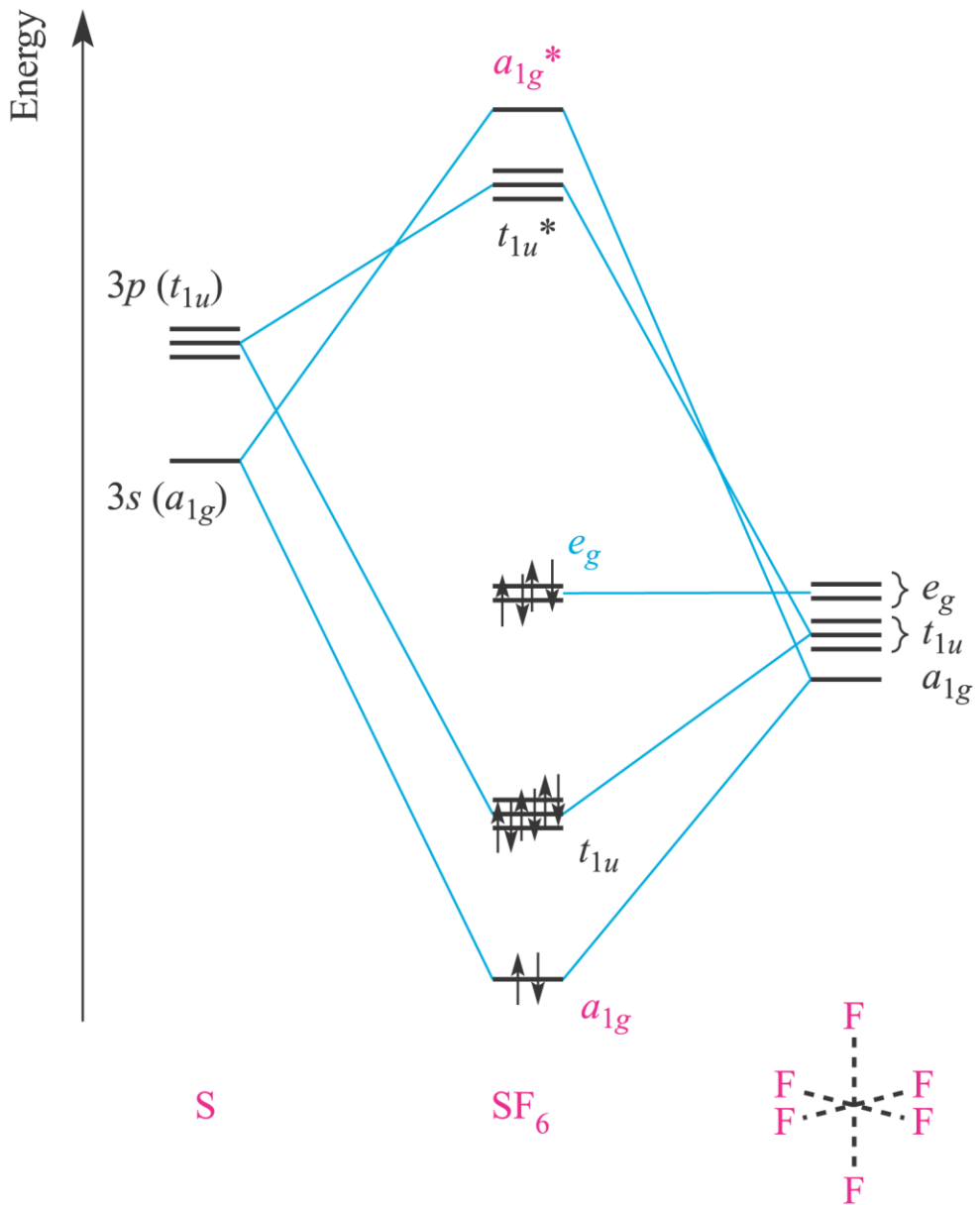
sei 2p<sub>z</sub> radiali

E	8C <sub>3</sub>	6C <sub>2</sub>	6C <sub>4</sub>	3C <sub>2</sub>	i	6S <sub>4</sub>	8S <sub>6</sub>	3σ <sub>h</sub>	6σ <sub>d</sub>
6	0	0	2	2	0	0	0	4	2

$$A_{1g} + T_{1u} + E_g$$

# LGO del frammento F<sub>6</sub> in SF<sub>6</sub>

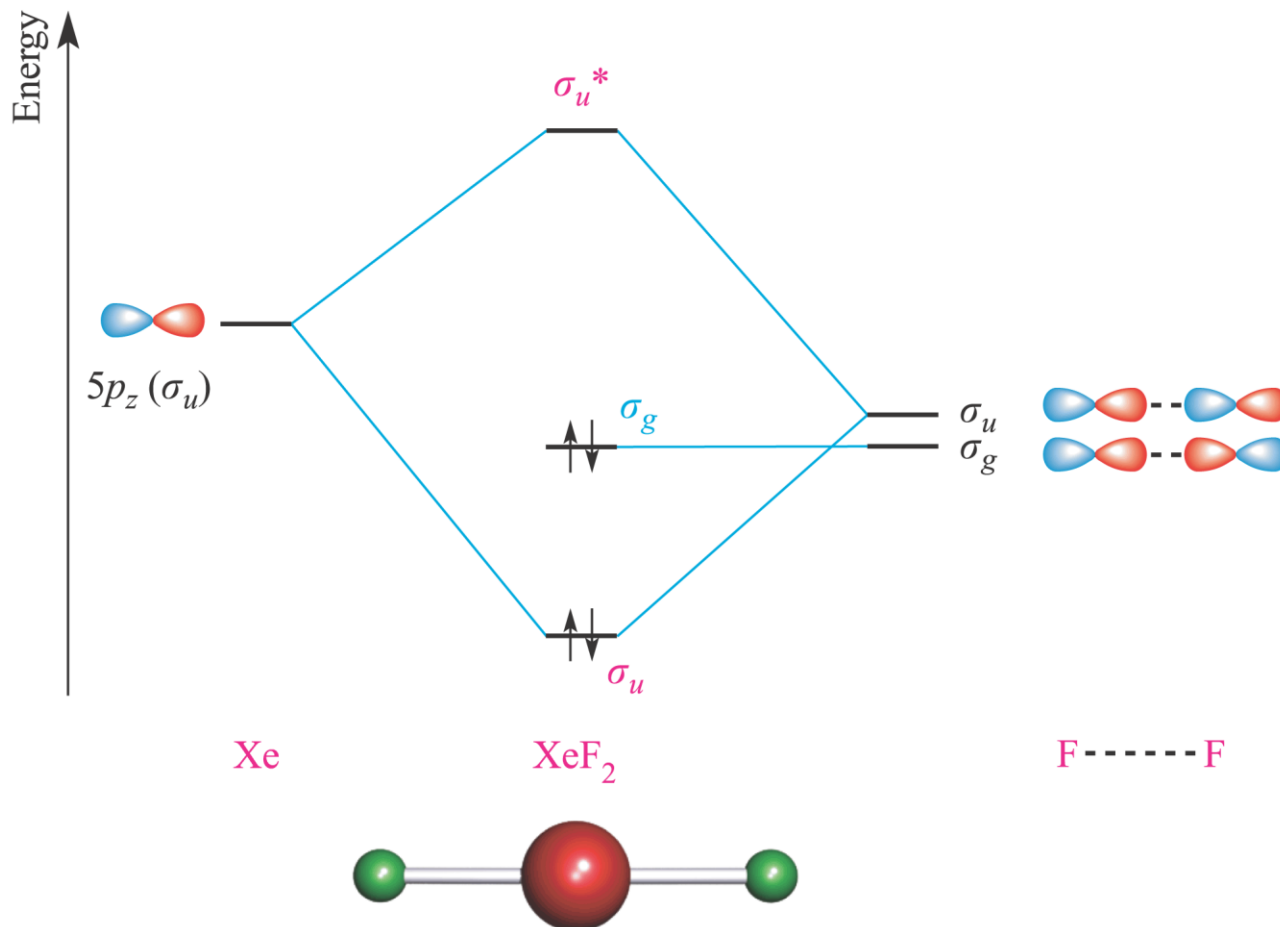




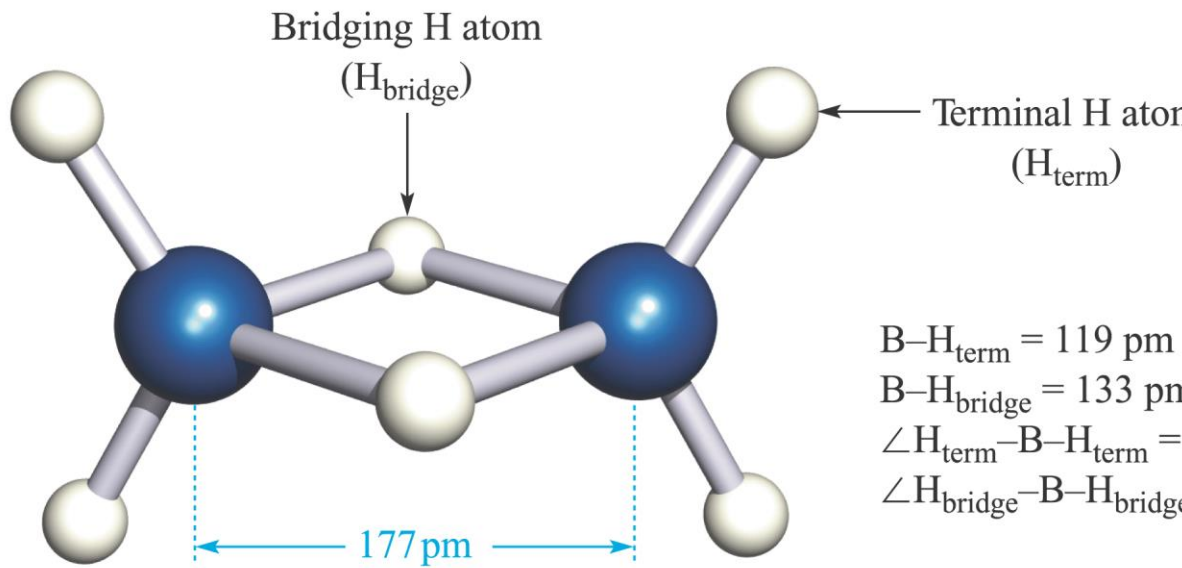
+ 18 MO di  
nonlegame

Ordine di legame 2/3,  
nessun orbitale d

# XeF<sub>2</sub>: Interazione 3c – 2e



# Diborano, $B_2H_6$



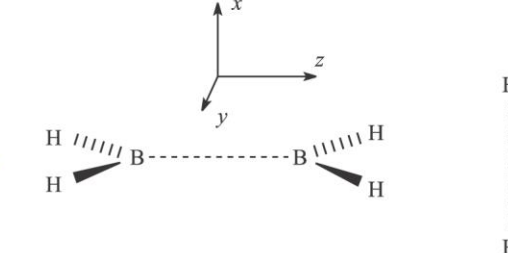
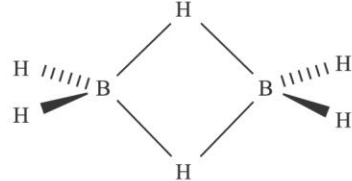
$$B-H_{\text{term}} = 119 \text{ pm}$$

$$B-H_{\text{bridge}} = 133 \text{ pm}$$

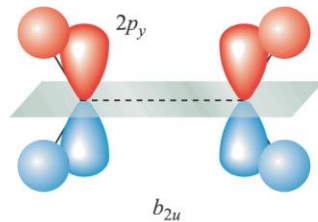
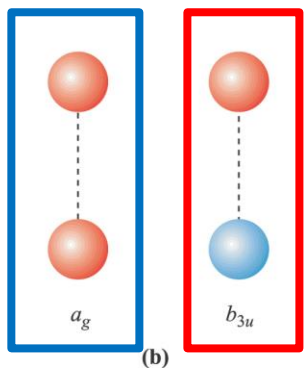
$$\angle H_{\text{term}}-B-H_{\text{term}} = 122^\circ$$

$$\angle H_{\text{bridge}}-B-H_{\text{bridge}} = 97^\circ$$

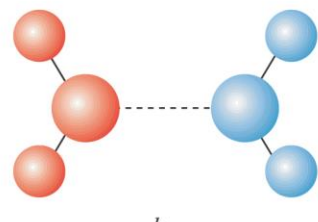
$D_{2h}$



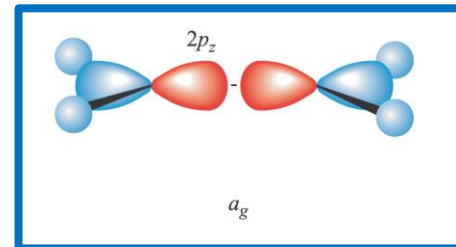
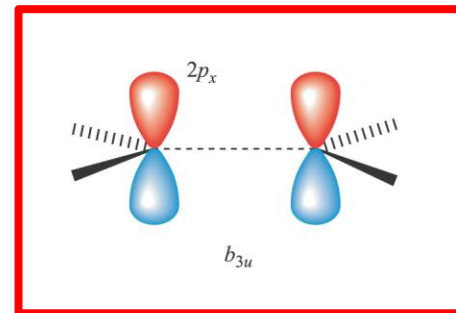
(a)



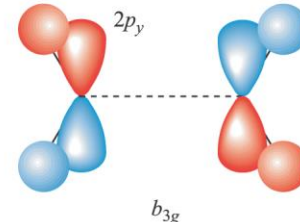
$b_{2u}$



$b_{1u}$



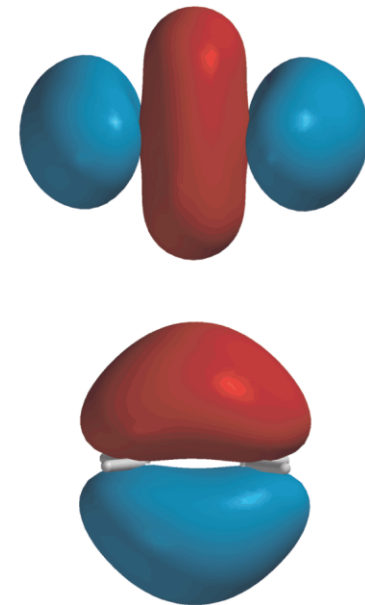
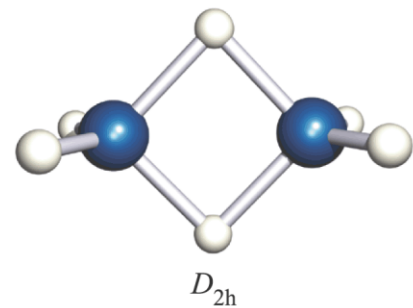
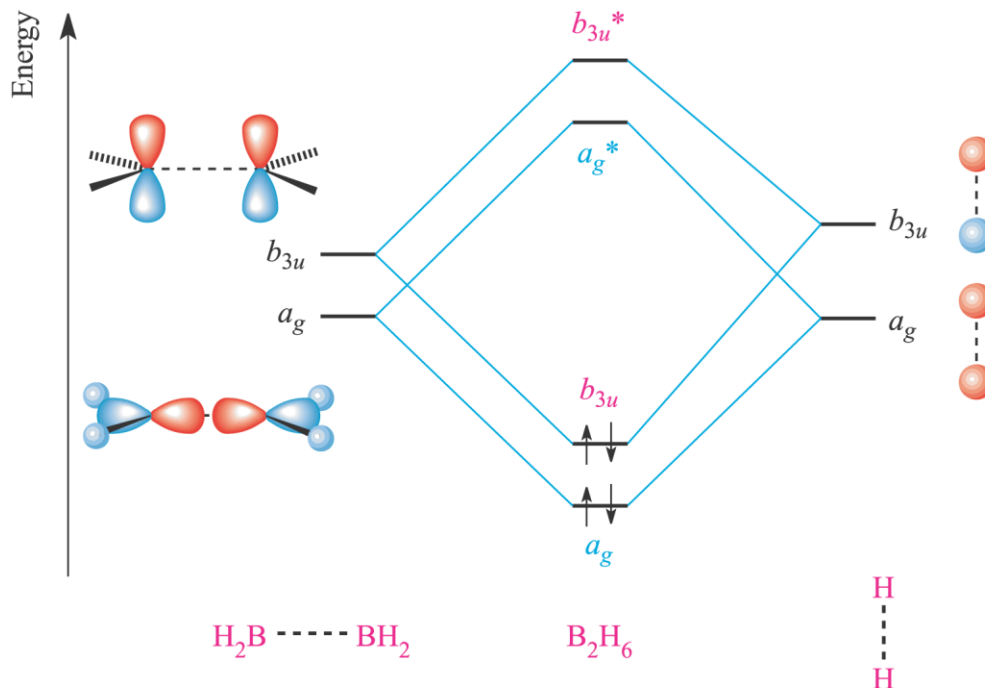
$a_g$



$b_{3g}$

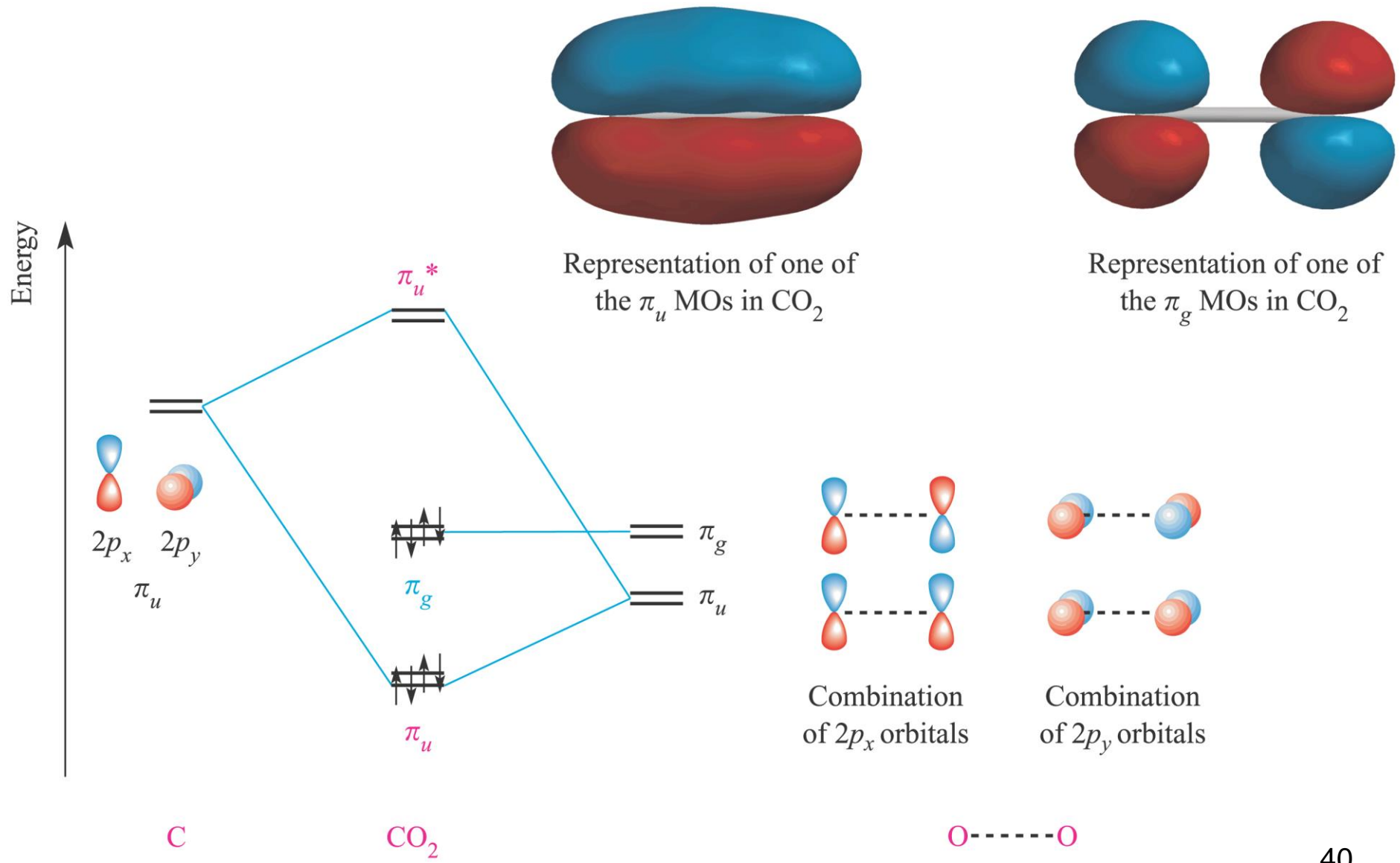
(c)

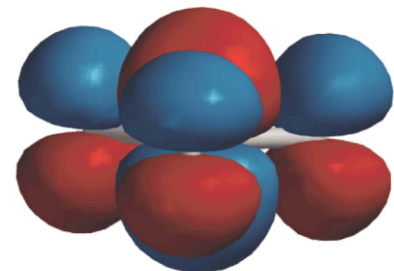
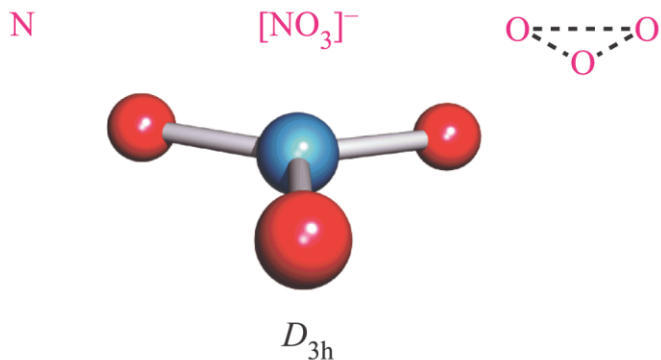
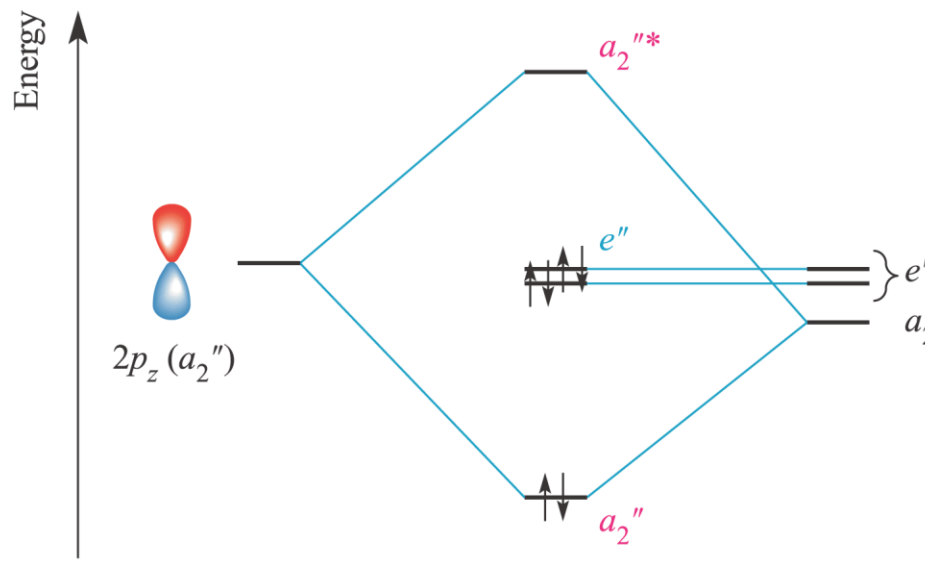
6 LGO (su 12) a energia più bassa del frammento  $B_2H_4$



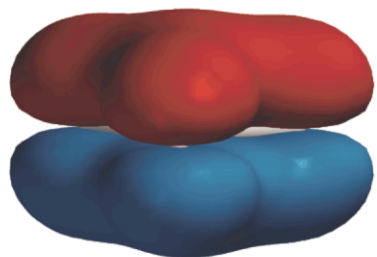
Representation of the  $a_g$  (top) and  $b_{3u}$  MOs which contain B–H–B bonding character

# Diagrammi MO parziali: CO<sub>2</sub>





A representation of the  $a_2''^*$  MO



A representation of the  $a_2''$  MO showing the delocalization of  $\pi$ -character over the N and O centres